

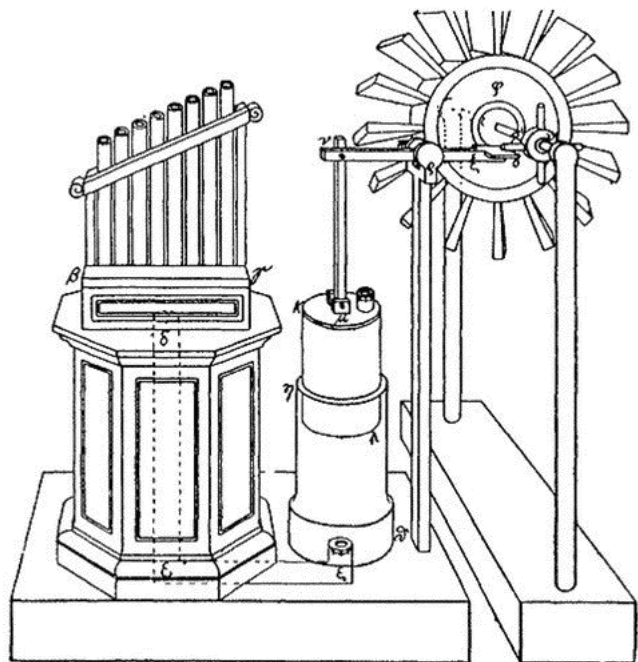
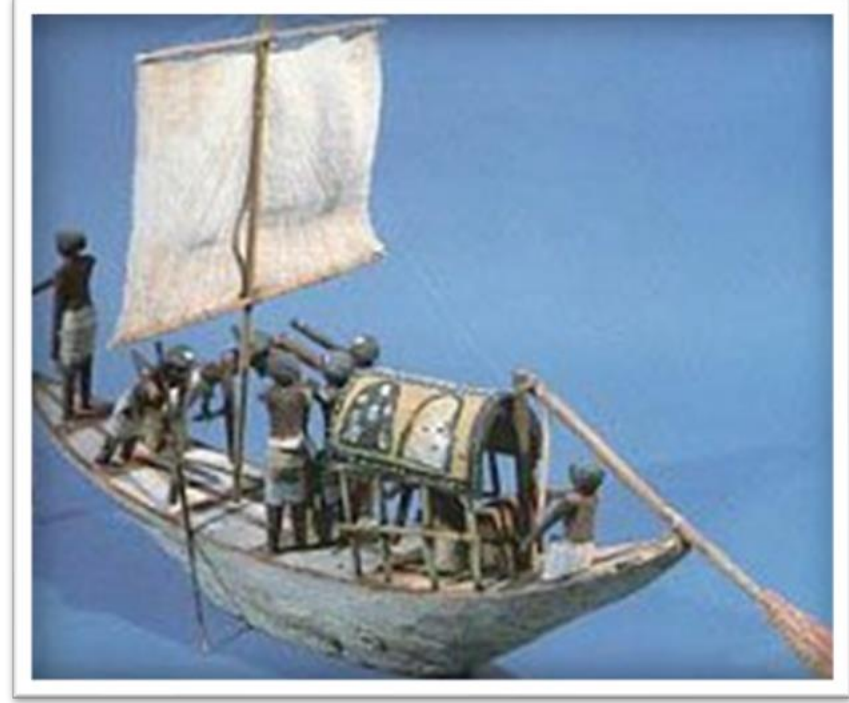
ENERGIA EÓLICA

Energias Renováveis

Miguel Centeno Brito

Utilização da energia do vento

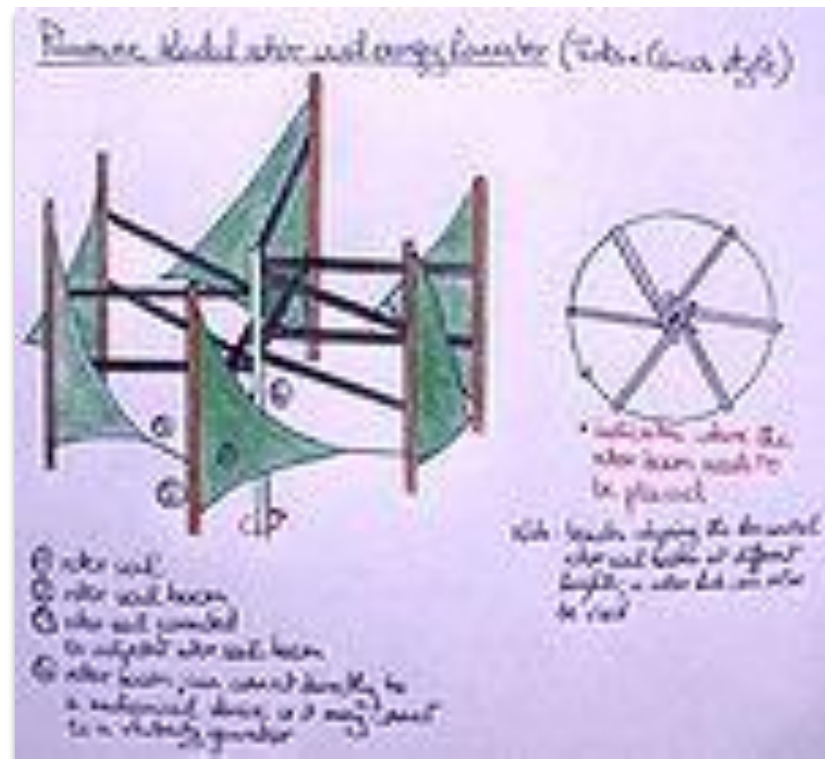
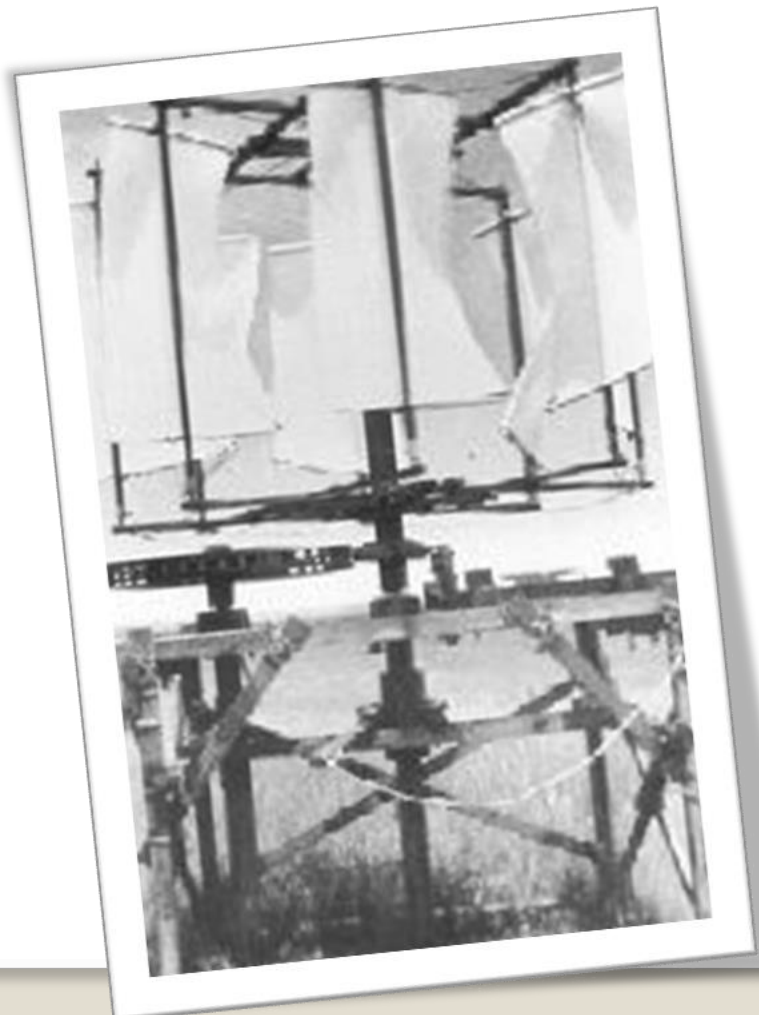
Egipto antigo e barcos fenícios navegaram à vela no Nilo, e no mediterraneo.



Heron (Alexandria)
Orgão musical com
energia do vento

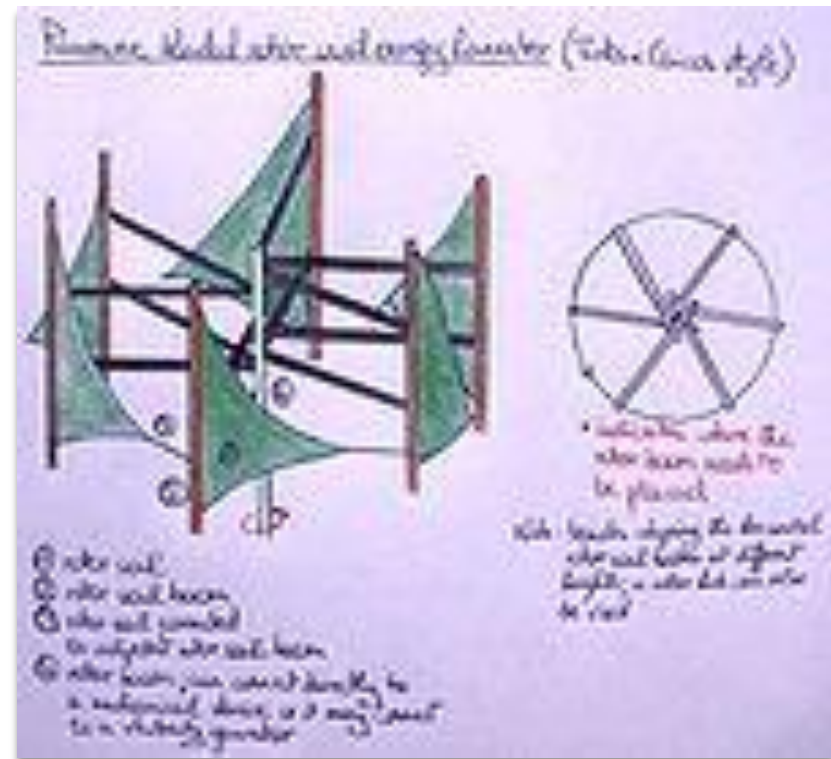
Utilização da energia do vento

Panemone (Pérsia) sec VII
turbina de eixo vertical utilizada
para moer grãos e bombear água



Utilização da energia do vento

Panemone (Pérsia) sec VII
turbina de eixo vertical utilizada para moer grãos e bombear água



Caravela portuguesa Sec XV-XVI

Utilização da energia do vento

Moinhos “Smock” Sec XV-XVI
Inglaterra, Holanda com eixo principal horizontal e sistema de orientação automática



Caravela portuguesa Sec XV-XVI

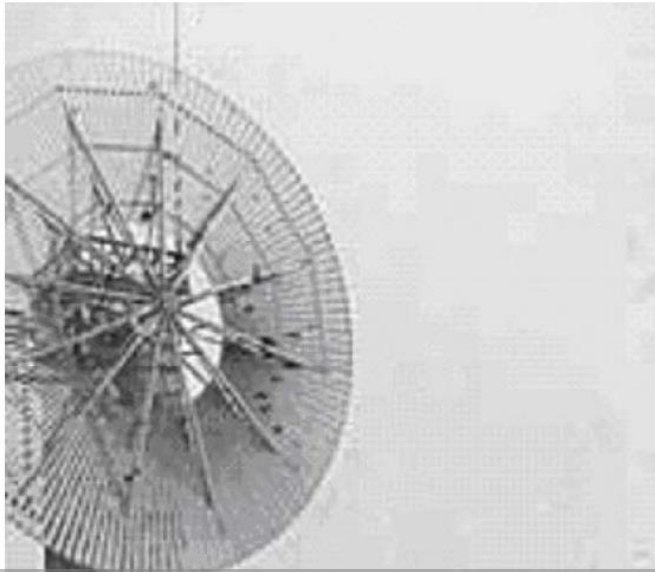


Grande disseminação de moínhos por toda a Europa
Mais de 50,000 em 1850, gradualmente substituídos por carvão...

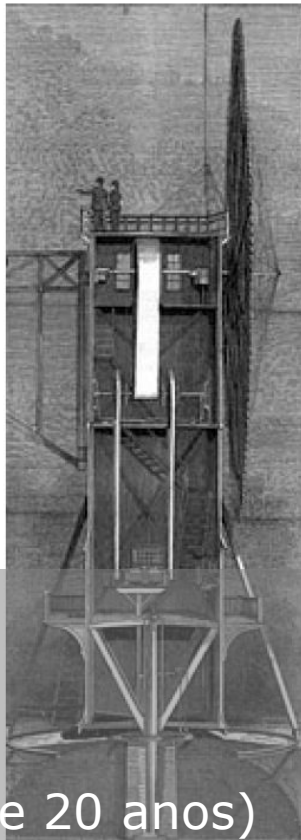


Utilização da energia do vento

Charles F. Brush (1877)



diâmetro do rotor: 17m
144 pás de madeira
potência eléctrica: 12kW_e
(em funcionamento durante 20 anos)



Moínhos de múltiplas pás,
para bombeamento de água

Utilização da energia do vento

Turbina de Smith-Putman (Grandpa's Knob, Vermont) 1941



diâmetro do rotor: 53m

comprimento pá: 20m

potência eléctrica: 1250kWe

funcionamento a 28 rpm

(controlo do ângulo de ataque das pás)



Utilização da energia do vento

Enercon E126

diâmetro do rotor: 126m

altura da turbina: 135m

potência eléctrica: 7MWe

funcionamento: 5-12rpm
(variável)

injecção na rede: inversor

vento máximo: 28-34 m/s



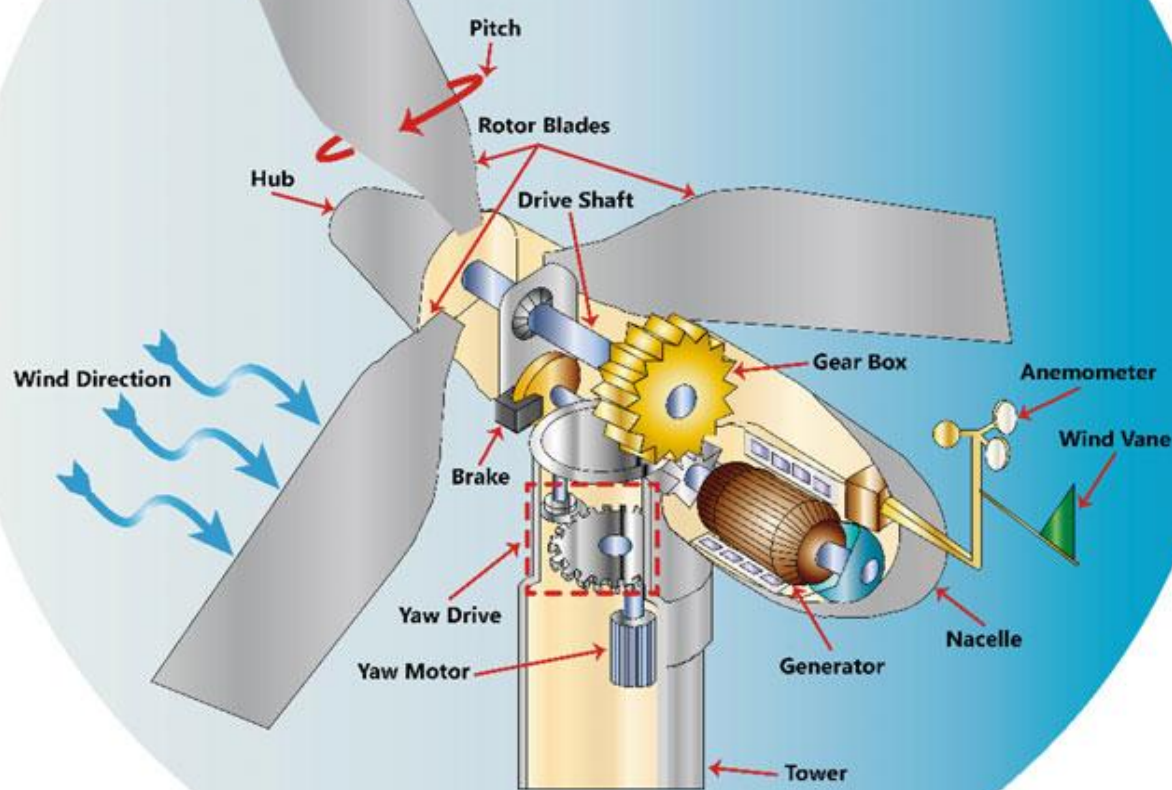
Using wind energy

Goldwind GWH252-16MW

Blade:123 m

Rotor diameter: 252 m



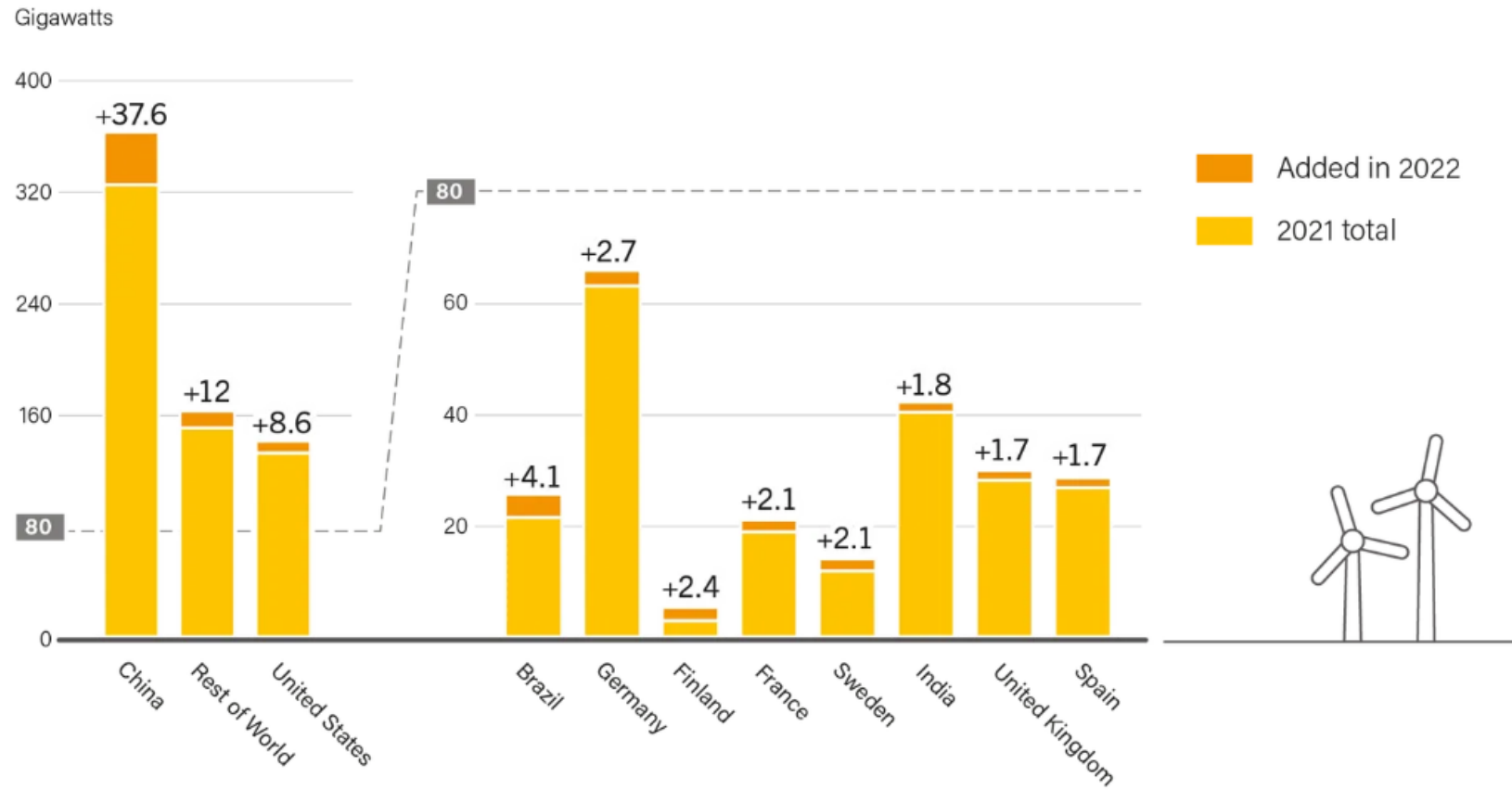


Utilização da energia do vento

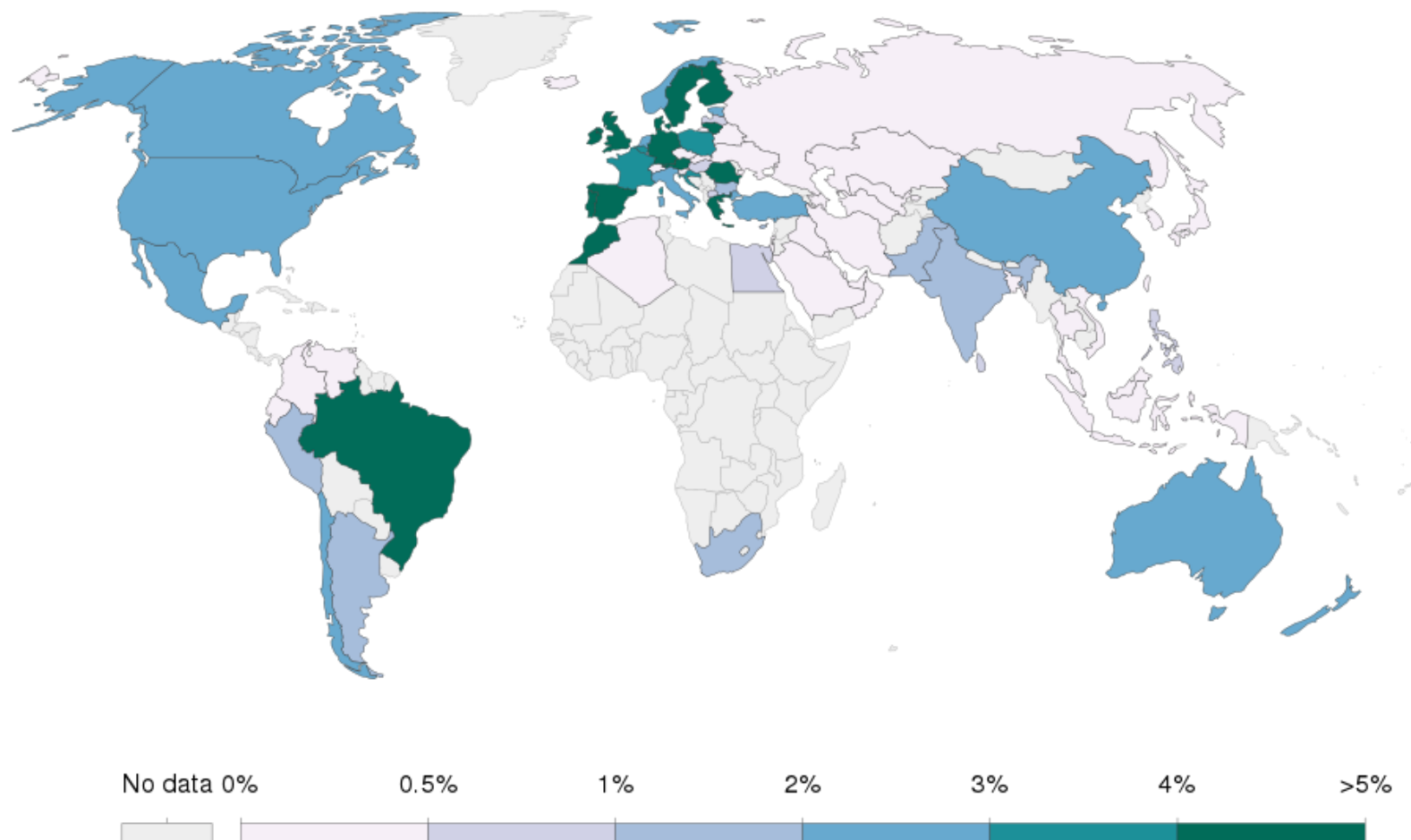


Utilização da energia do vento

Wind Power Capacity and Additions, Top 10 Countries, 2022



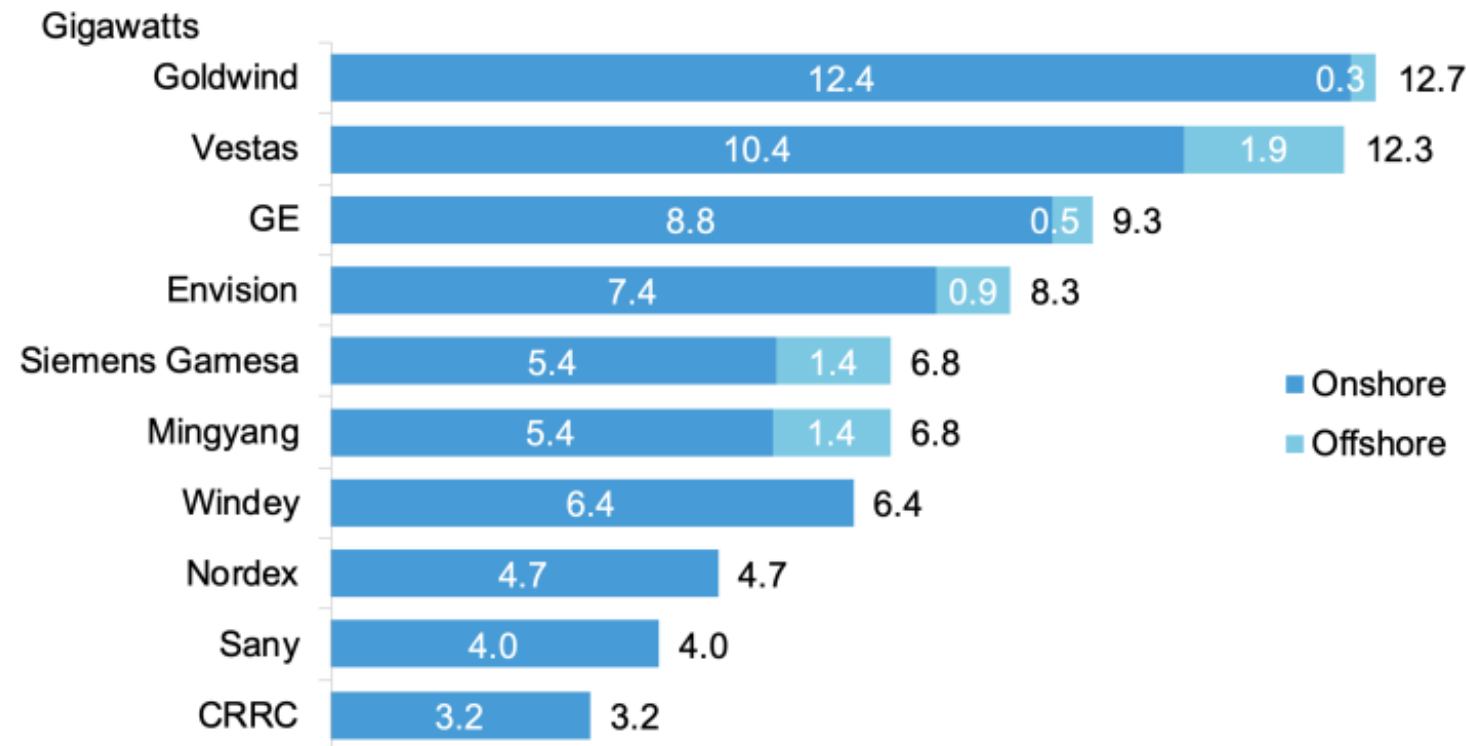
Share of primary energy from wind, 2019



Source: Our World in Data based on BP Statistical Review of World Energy (2020)

Note: Primary energy is calculated using the 'substitution method' which takes account of the inefficiencies of energy production from fossil fuels.

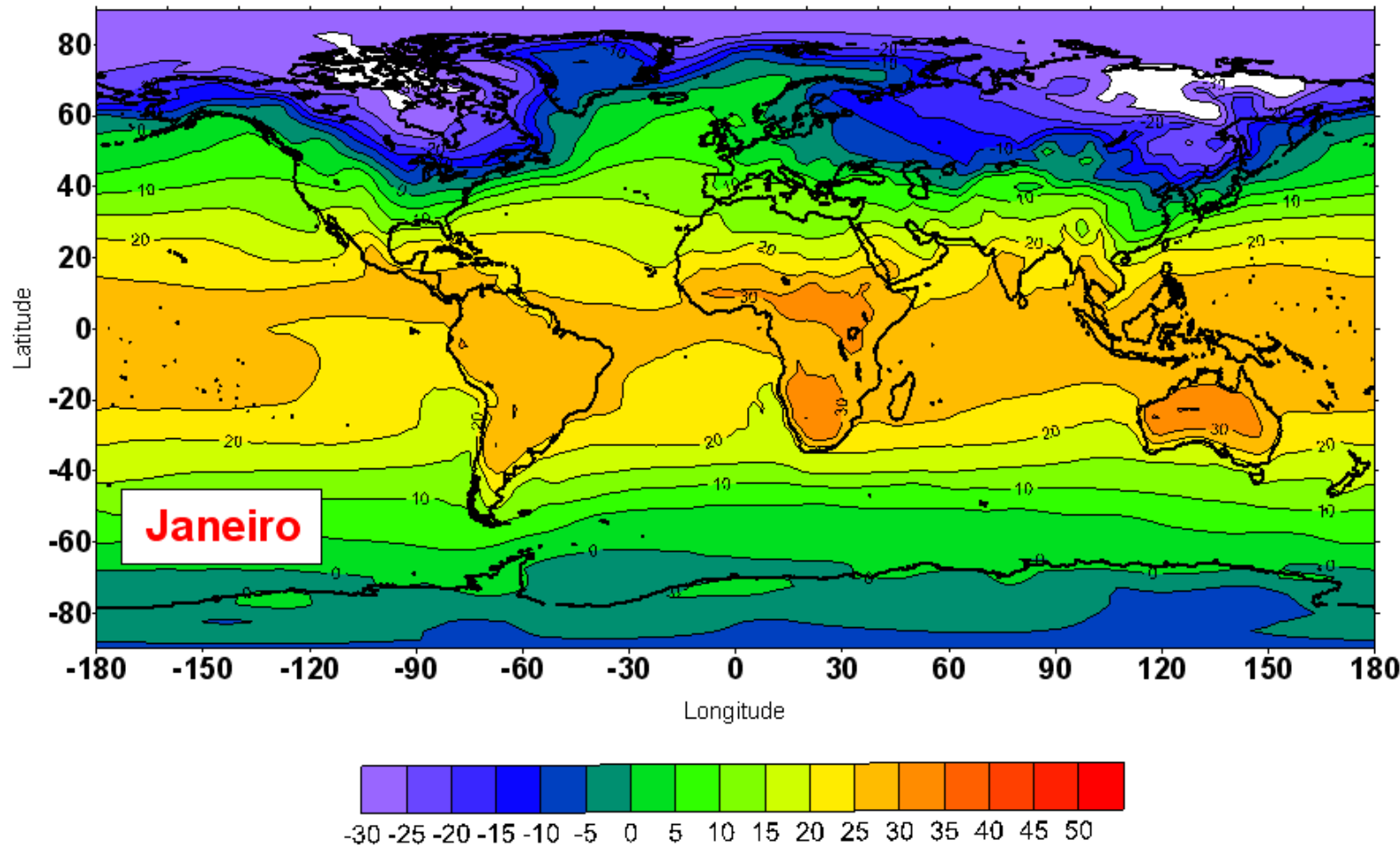
Figure 1: Top 10 global wind turbine makers, 2022



Source: BloombergNEF. Notes: Total commissioned wind capacity in 2022 was 86GW.

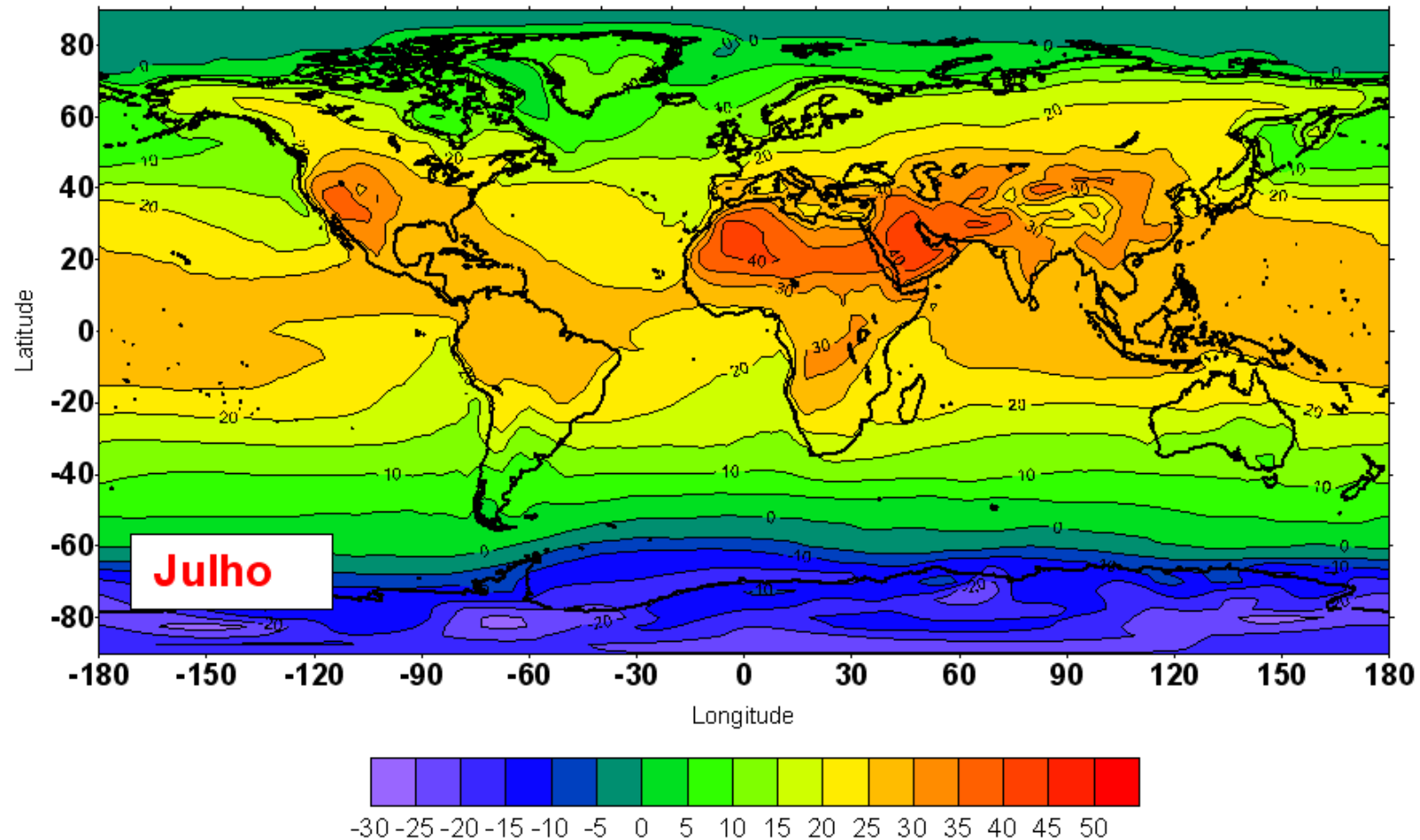
Recurso eólico

Temperatura



Recurso eólico

Temperatura

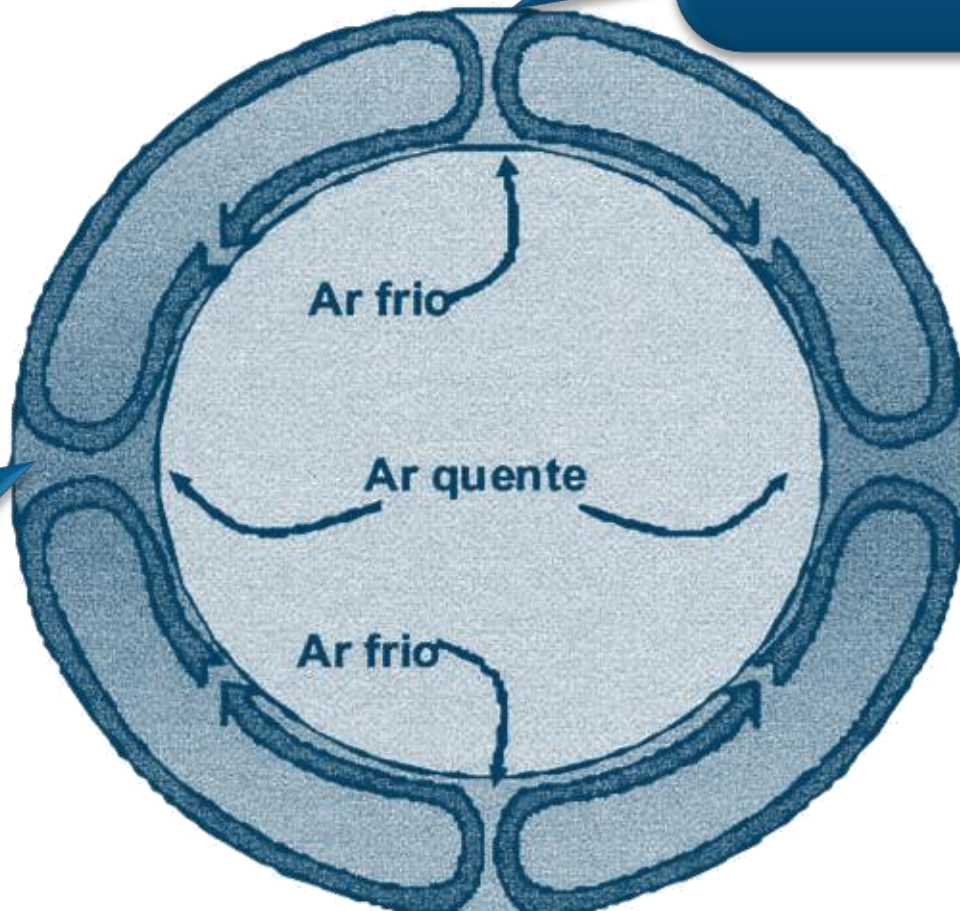


Recurso eólico

Sem rotação da Terra

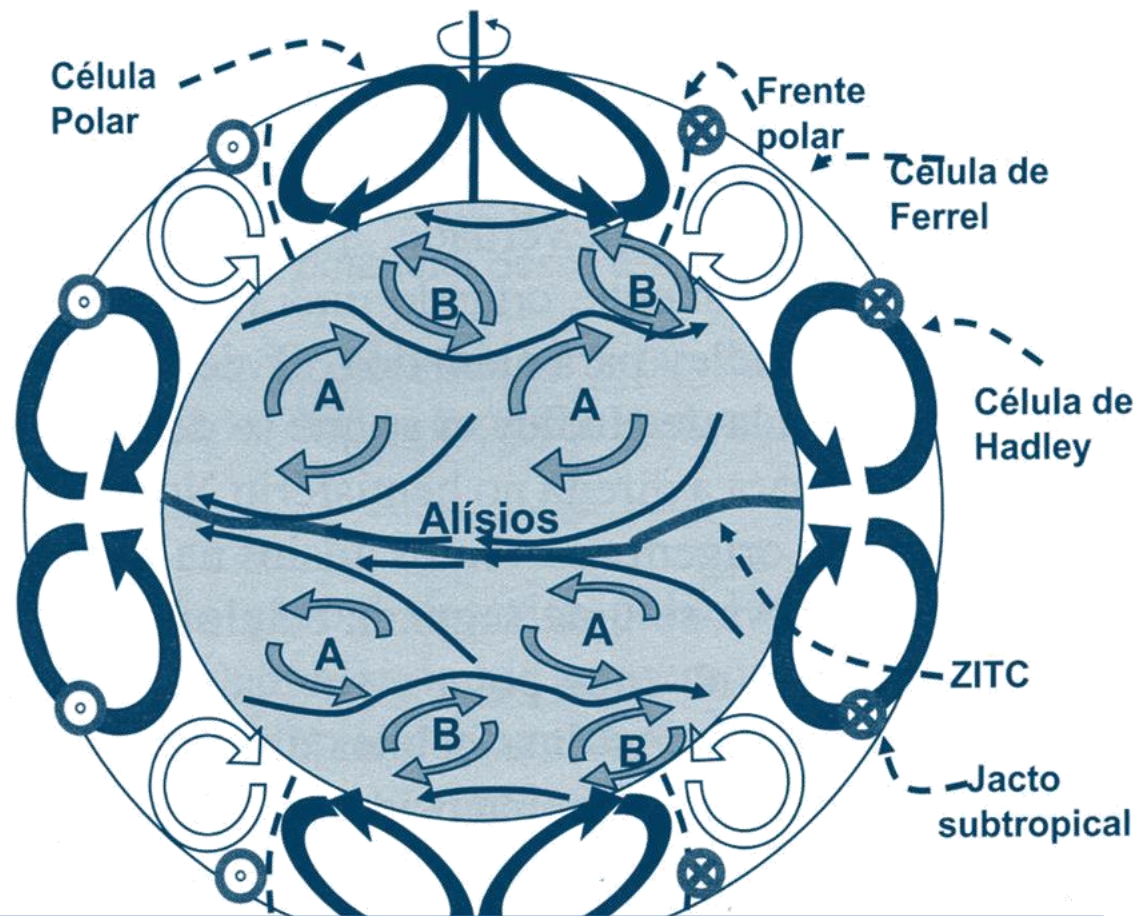
Zona de divergência
em altitude e
convergência à
superfície na zona
mais quente

Zona de
convergência em
altitude e
divergência à
superfície na zona
mais fria



Recurso eólico

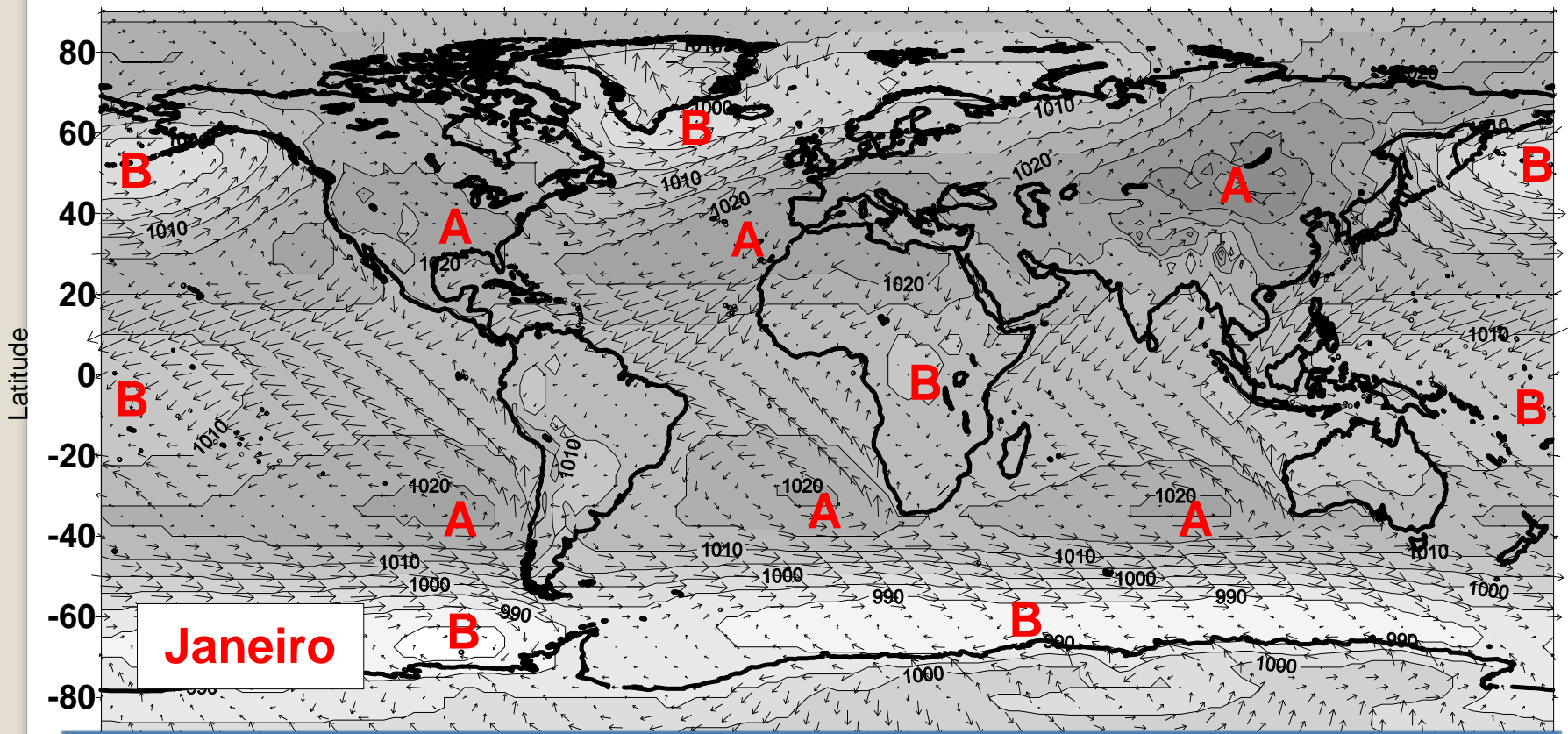
Com rotação da Terra – efeito da força de Coriolis



Embora a “excitação” seja na direcção NS, as principais componentes do vento resultante são na direcção EW.

Recurso eólico

Efeito da interacção continente-oceano



Localmente, ainda mais complexo. É pois absolutamente essencial proceder à medição do vento disponível num dado local antes de se avançar com a instalação.

Variação do vento médio com a altura

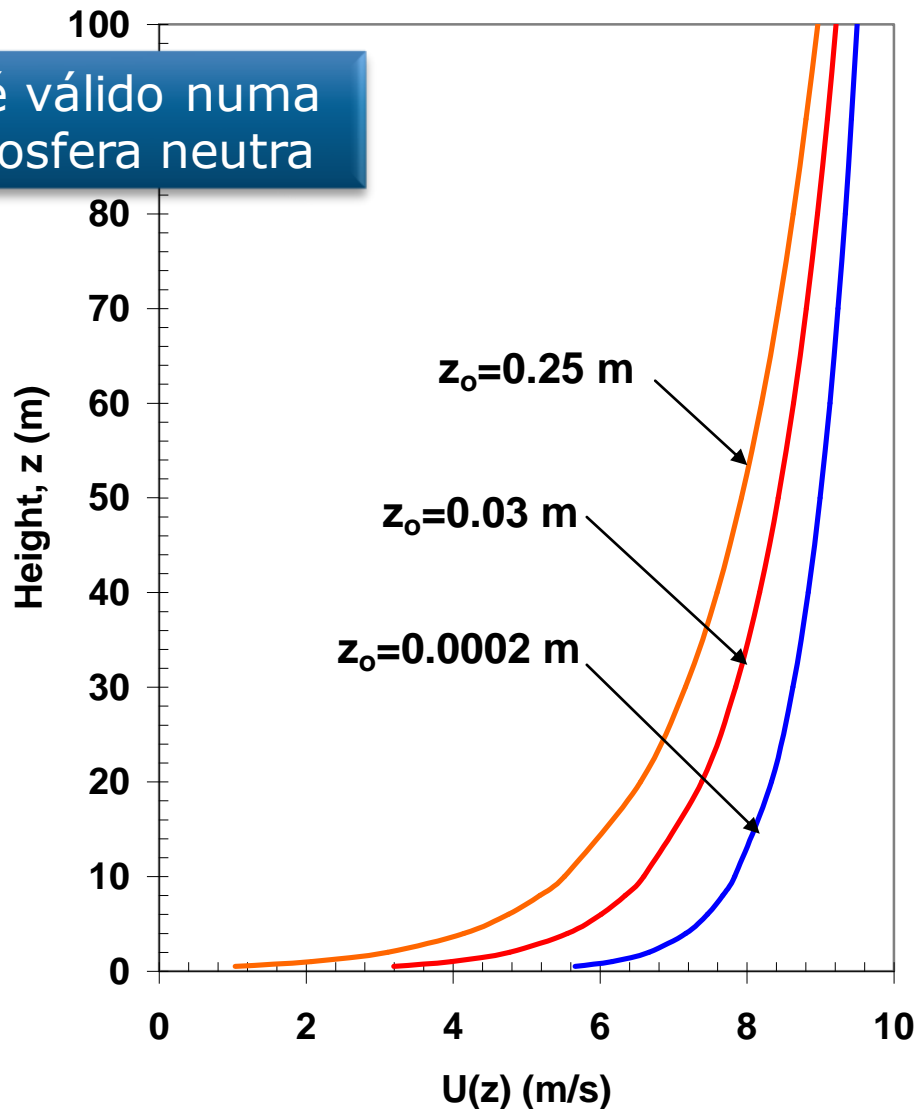
$$U(z) = \frac{U^*}{K} \log\left(\frac{z}{z_0}\right)$$

Só é válido numa atmosfera neutra

Vento a >100-200m determinado por efeitos de larga escala.

Superfície retarda o vento localmente.

Superfície mais *rugosa* tem um maior alcance na perturbação local do vento.



Variação do vento médio com a altura

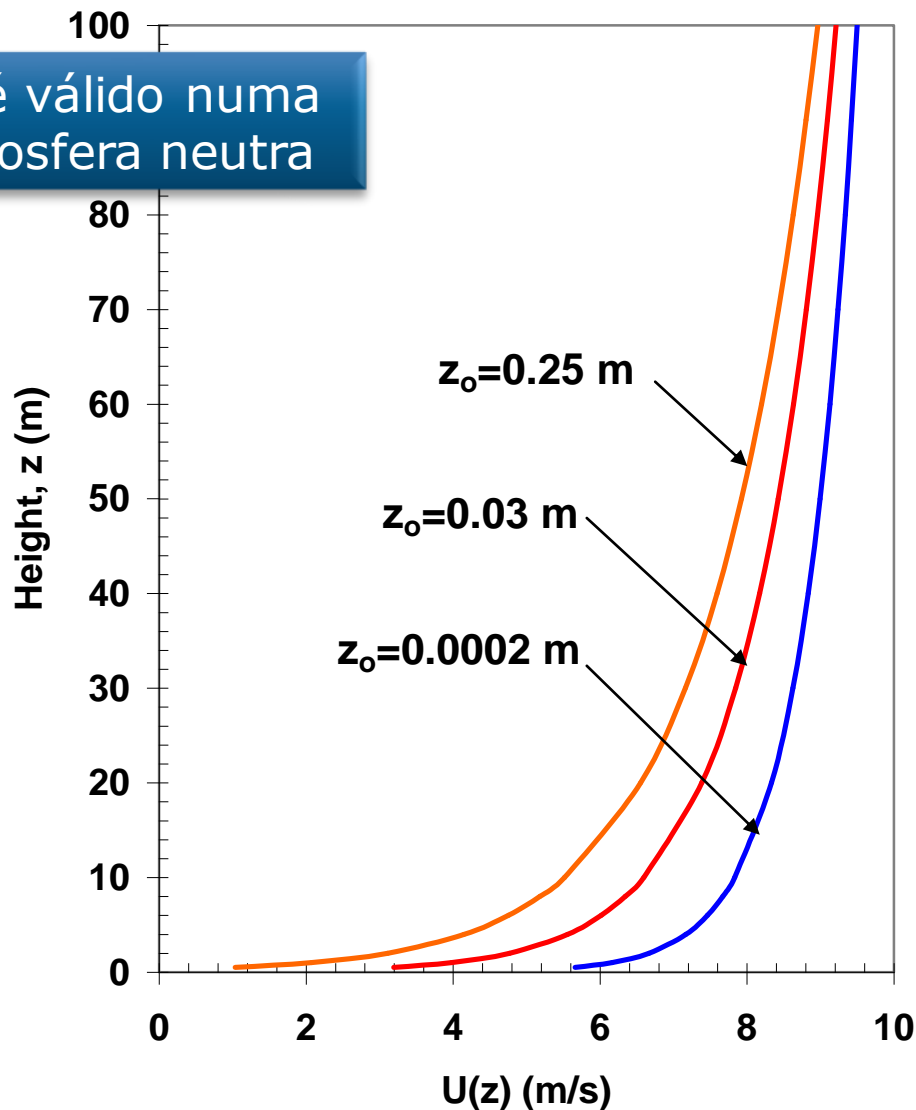
$$U(z) = \frac{U^*}{K} \log\left(\frac{z}{z_0}\right)$$

Só é válido numa atmosfera neutra

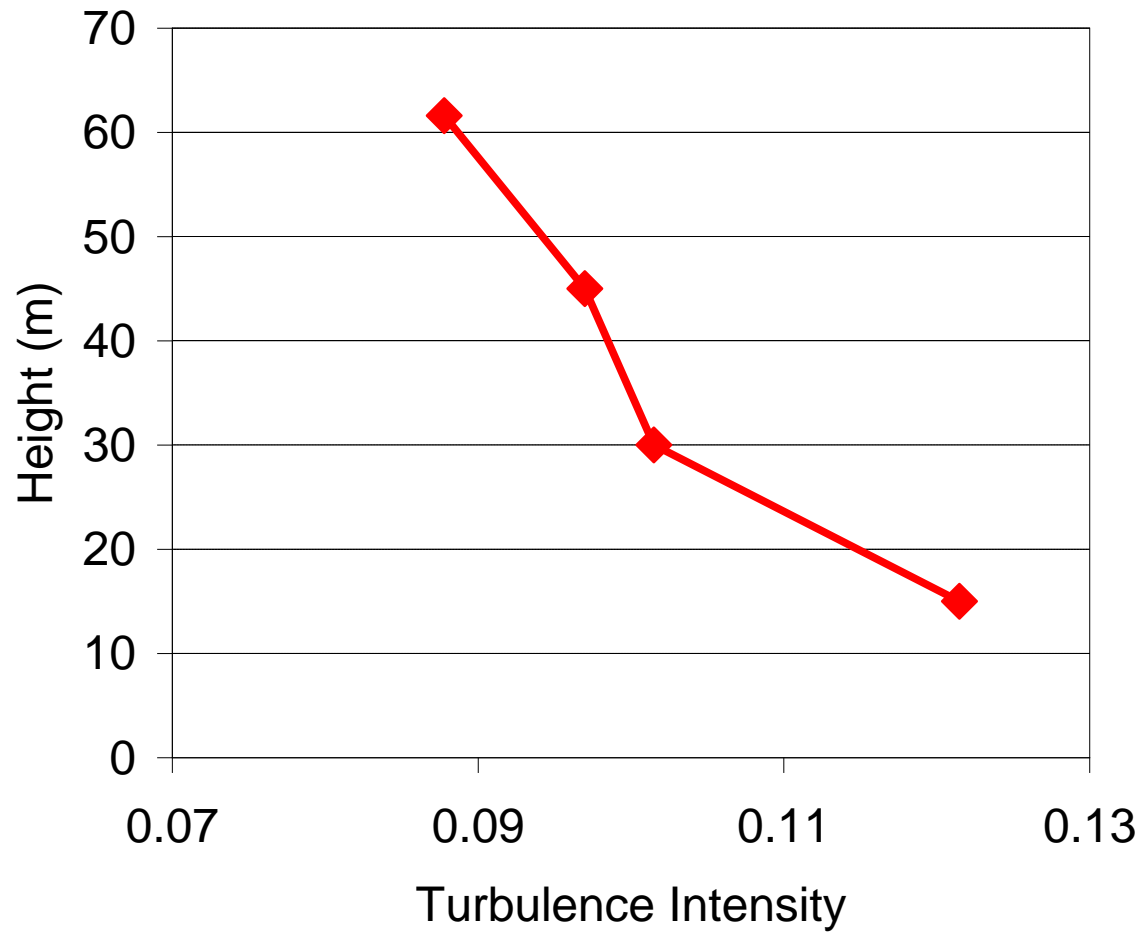
Solução empírica:

$$\frac{U_h}{U_{ref}} = \left(\frac{h}{h_{ref}} \right)^n$$

com $n = 0.15 - 0.16$



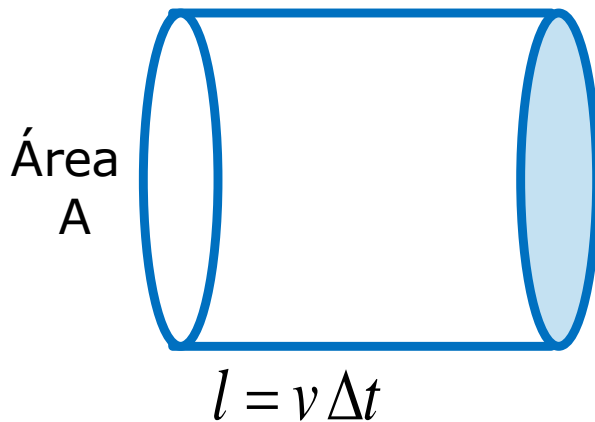
Variação do vento médio com a altura



intensidade de turbulência =

= desvio padrão da velocidade do vento / velocidade média

Quanta é a energia do vento



Energia cinética

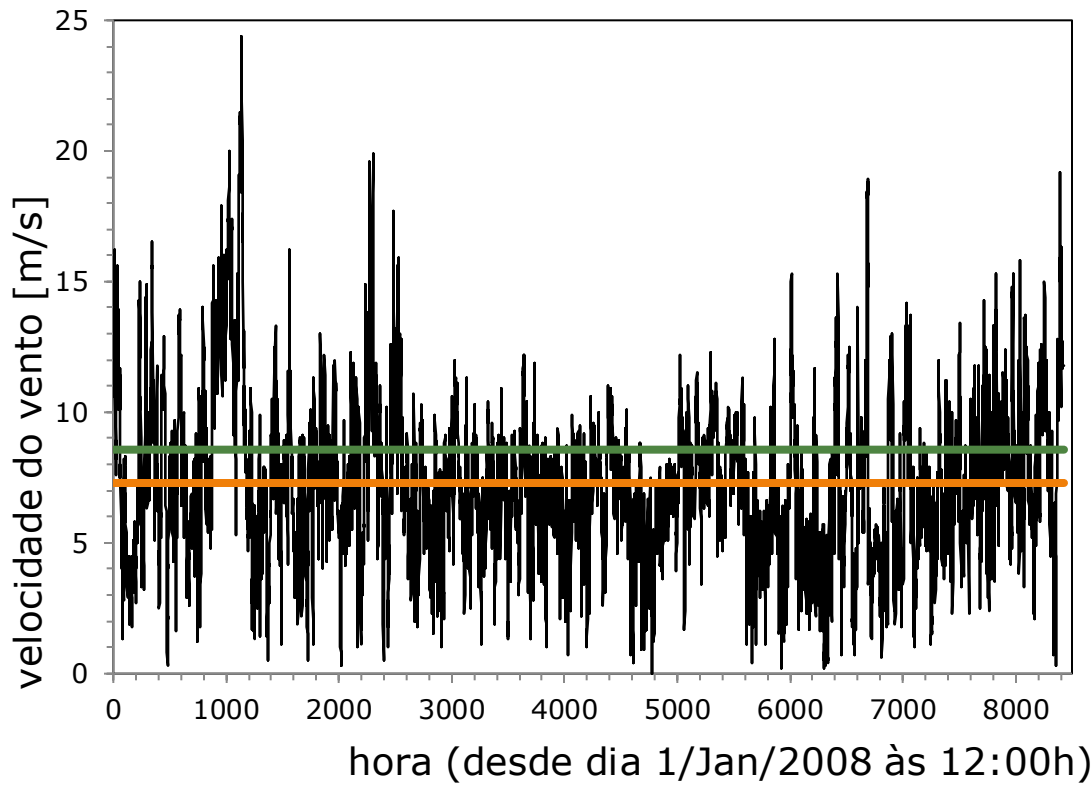
$$E = \frac{1}{2} m v^2 = \frac{1}{2} (\rho A v \Delta t) v^2 = \frac{1}{2} \rho A \Delta t v^3$$

Potência

$$P = \frac{1}{2} \rho A v^3$$

Não basta saber a velocidade média
do vento mas a sua distribuição

Quanta é a energia do vento



Velocidade

$$\sqrt[3]{\langle v^3 \rangle} = 8.6 \text{ m/s}$$

+17%

Velocidade

$$\langle v \rangle = 7.3 \text{ m/s}$$

Potência

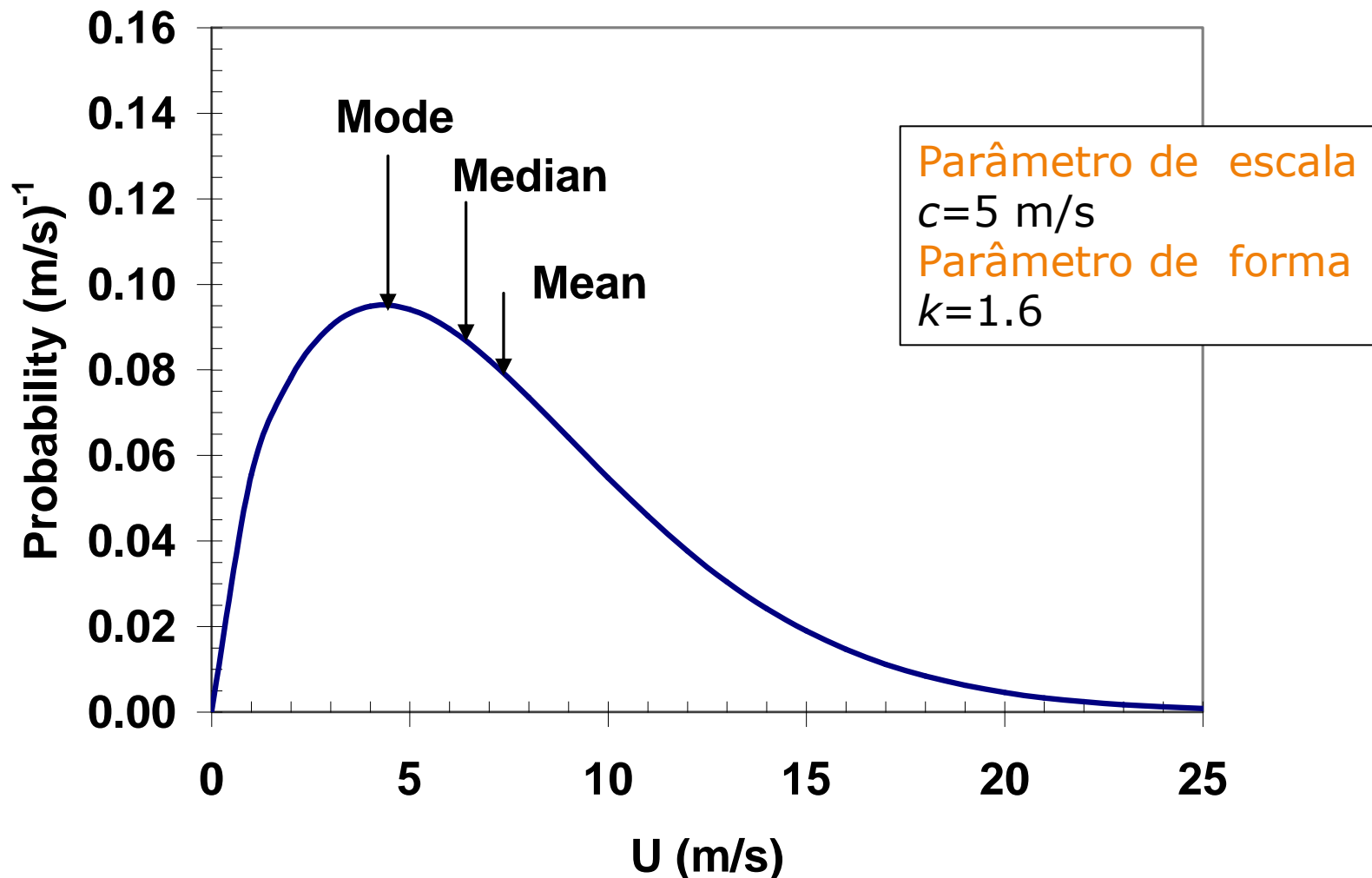
$$P = \frac{1}{2} \rho A v^3$$

Não basta saber a velocidade média
do vento mas a sua distribuição

Distribuição da velocidade do vento

Distribuição de Weibull

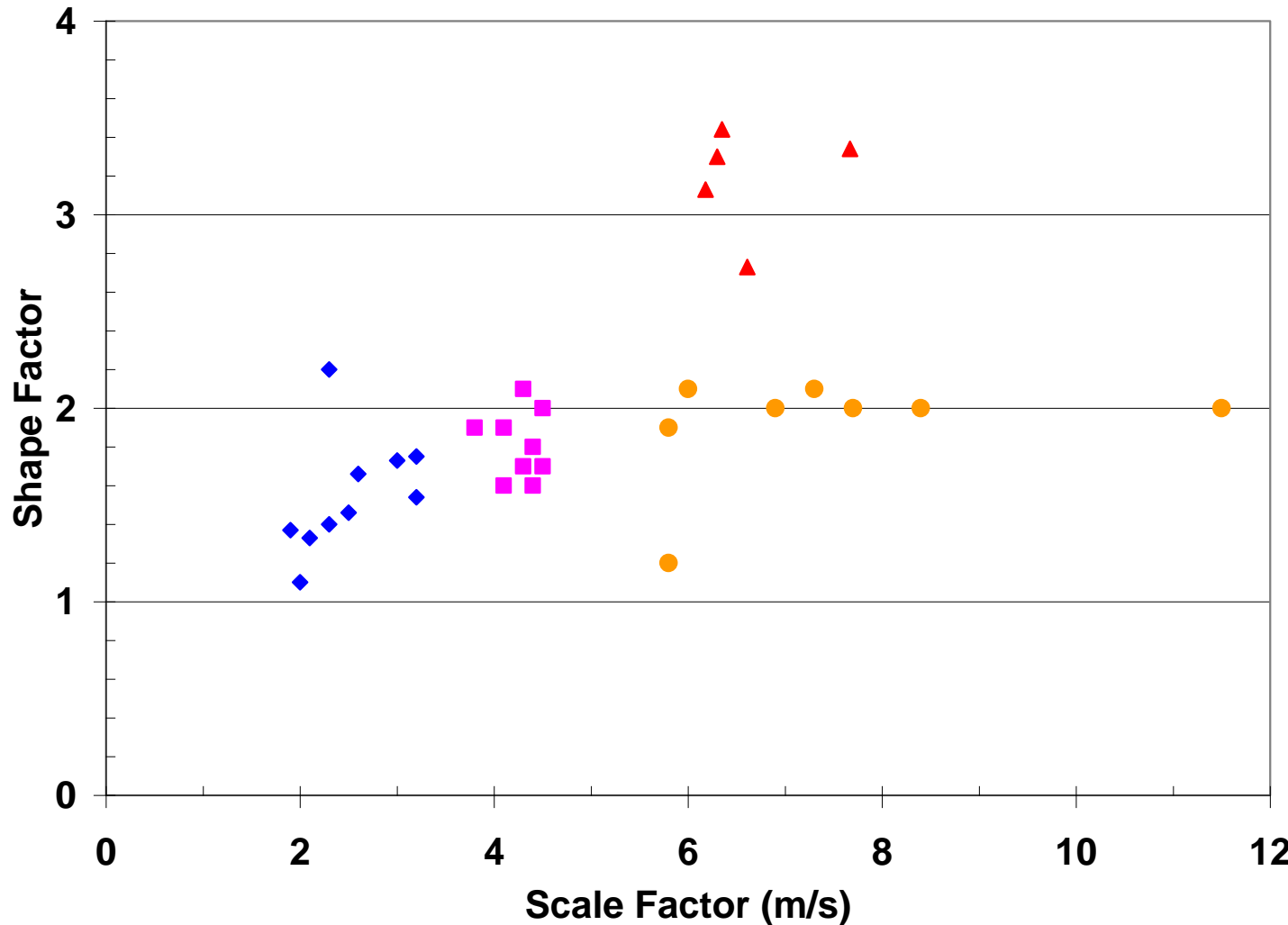
$$f(u) = \frac{k}{c} \left(\frac{u}{c}\right)^{k-1} e^{-(u/c)^k}$$



Distribuição da velocidade do vento

Distribuição de Weibull

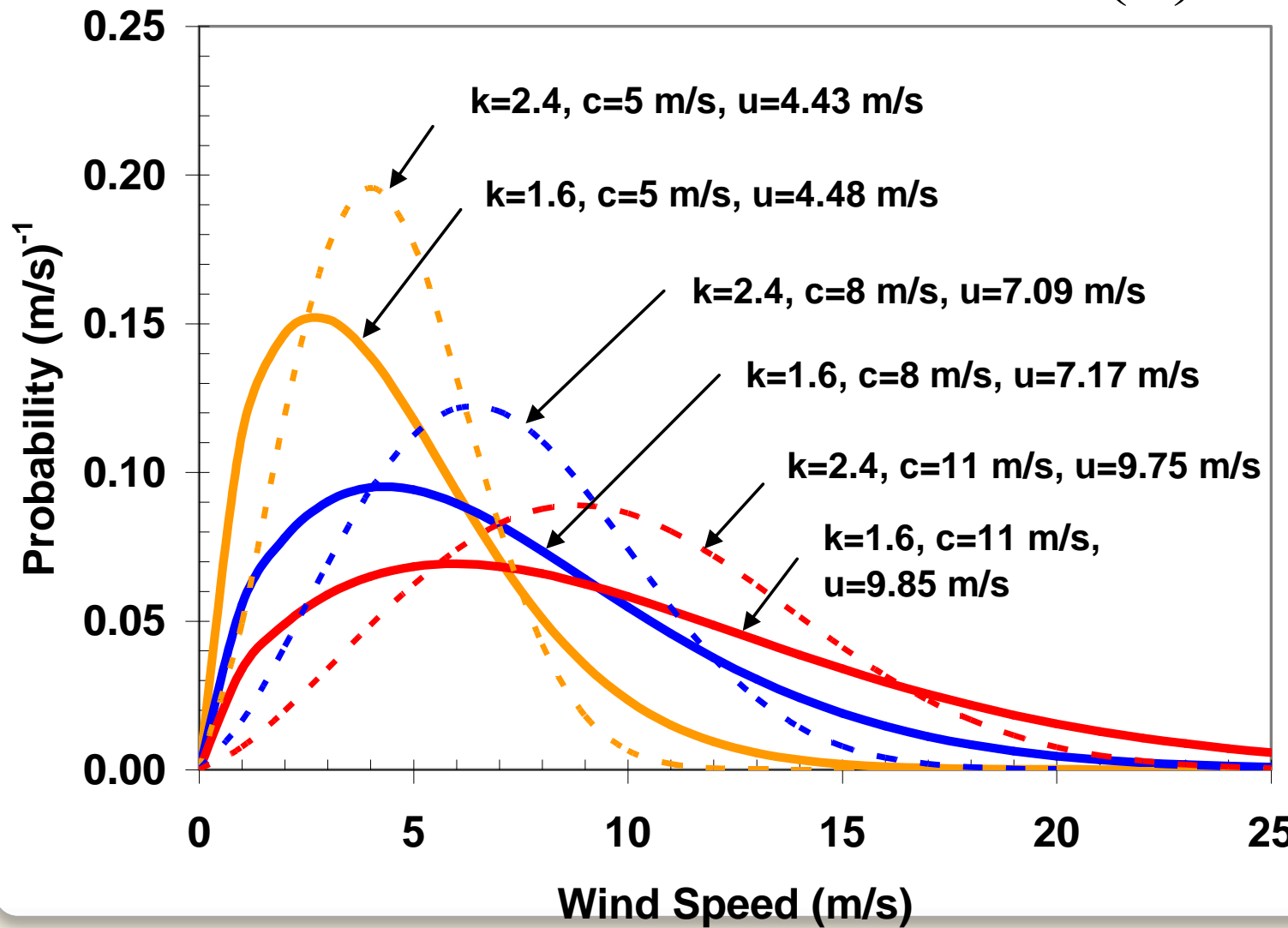
$$f(u) = \frac{k}{c} \left(\frac{u}{c}\right)^{k-1} e^{-(u/c)^k}$$



Distribuição da velocidade do vento

Distribuição de Weibull

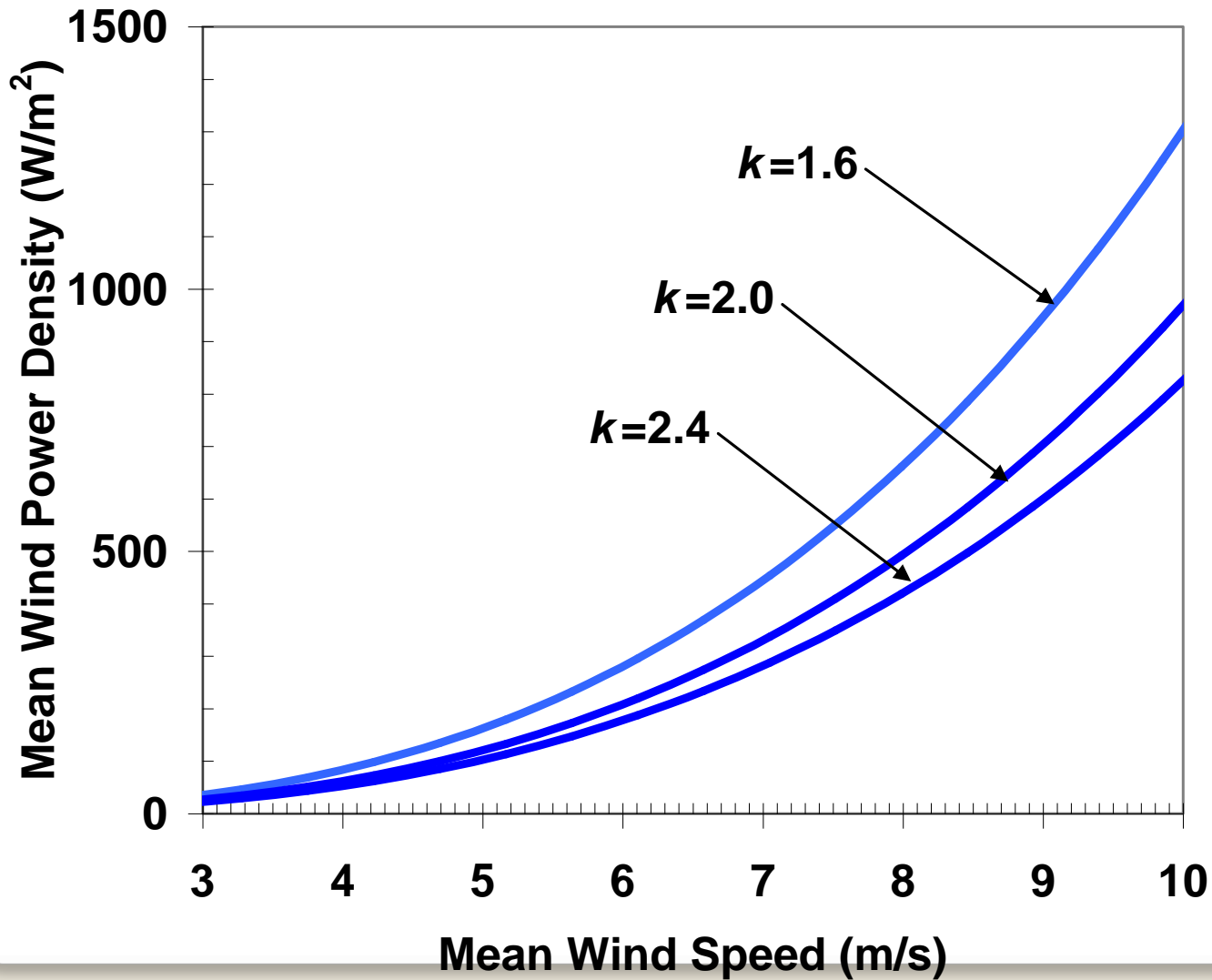
$$f(u) = \frac{k}{c} \left(\frac{u}{c} \right)^{k-1} e^{-(u/c)^k}$$



Distribuição da velocidade do vento

Distribuição de Weibull

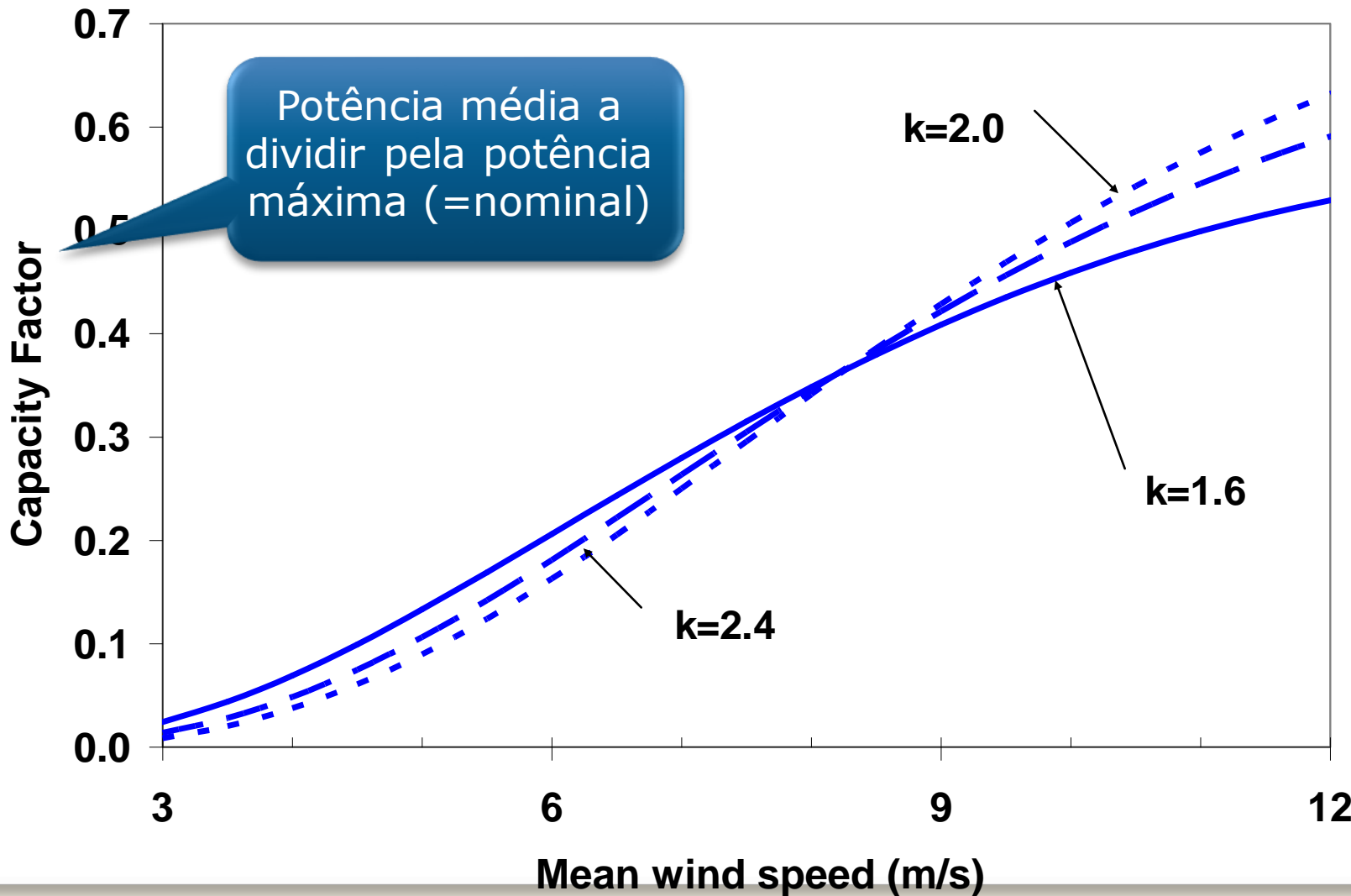
$$f(u) = \frac{k}{c} \left(\frac{u}{c} \right)^{k-1} e^{-(u/c)^k}$$



Distribuição da velocidade do vento

Distribuição de Weibull

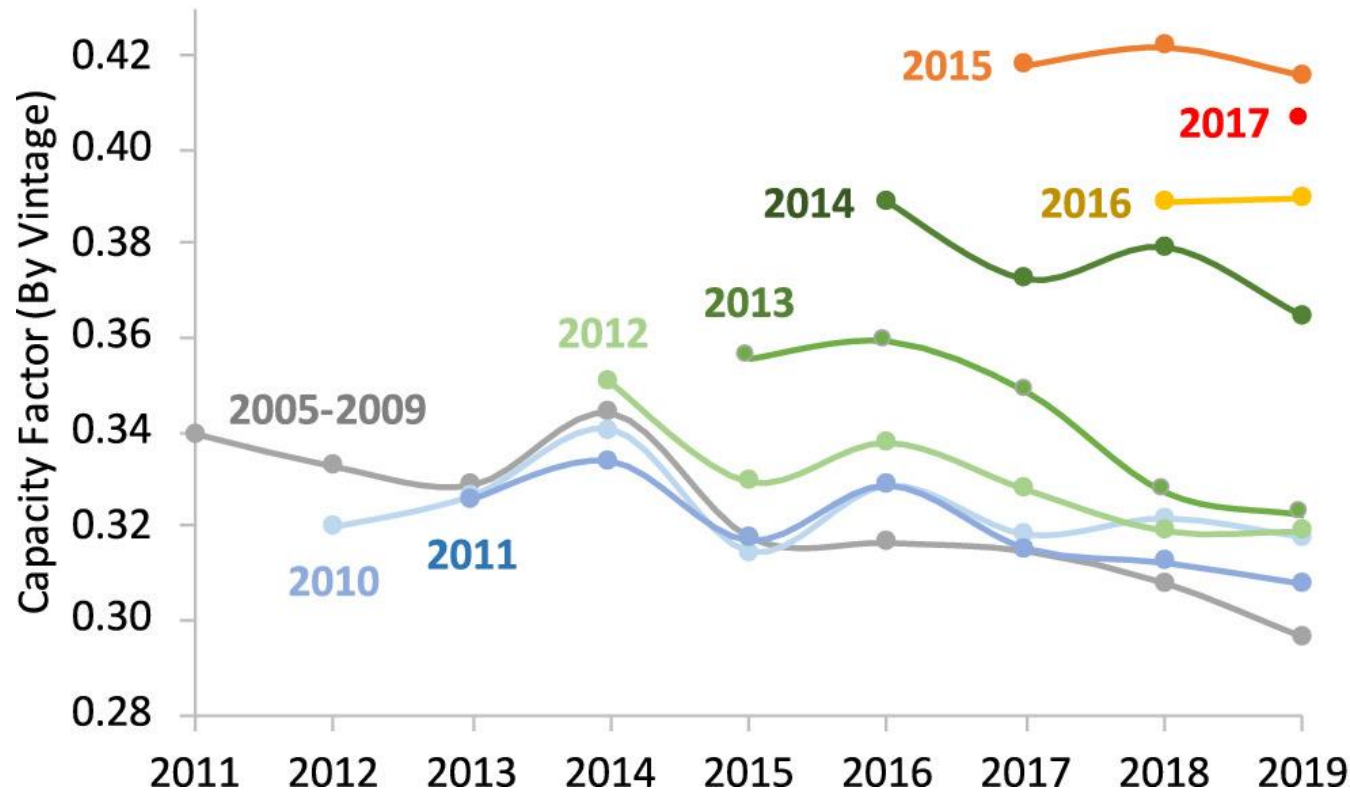
$$f(u) = \frac{k}{c} \left(\frac{u}{c} \right)^{k-1} e^{-(u/c)^k}$$

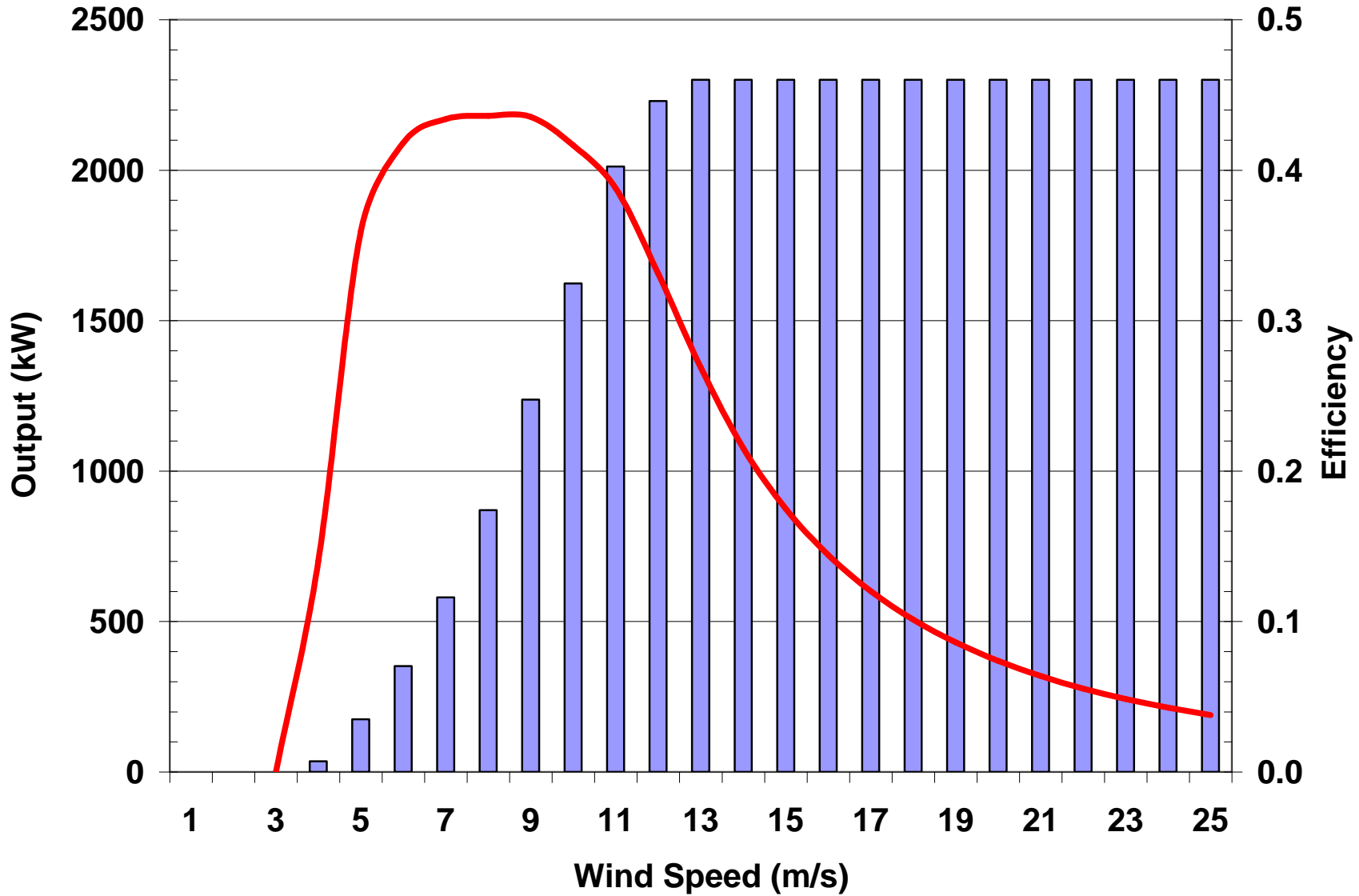


Factor de capacidade:
Potência média a dividir pela
potência máxima (=nominal)

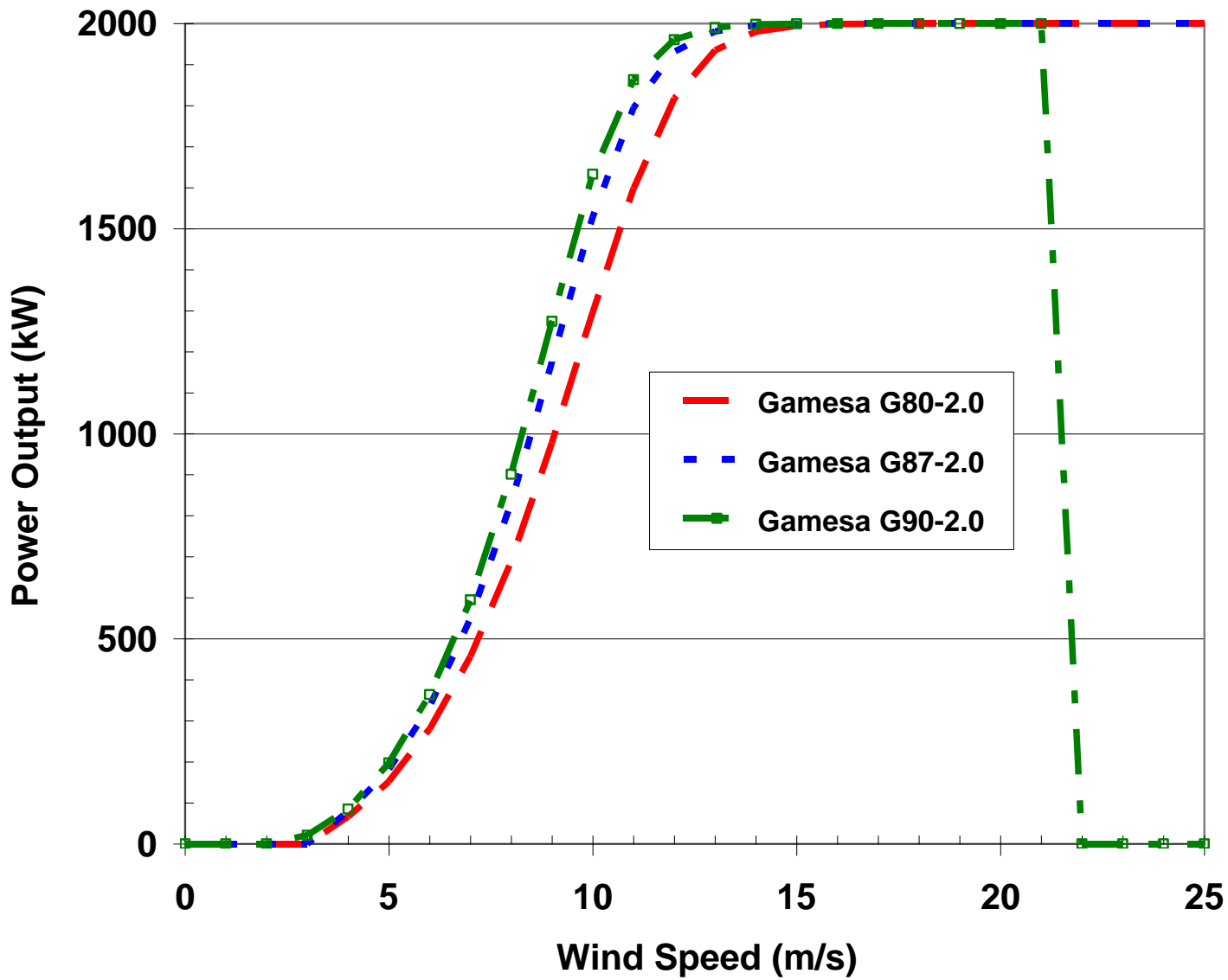
País	Factor de capacidade
Reino Unido	0.32
Grécia	0.29
Dinamarca	0.26
Espanha	0.24
Holanda	0.24
China	0.24
Suécia	0.24
Itália	0.23
Alemanha	0.21
India	0.20

Factor de capacidade:
Potência média a dividir pela
potência máxima (=nominal)

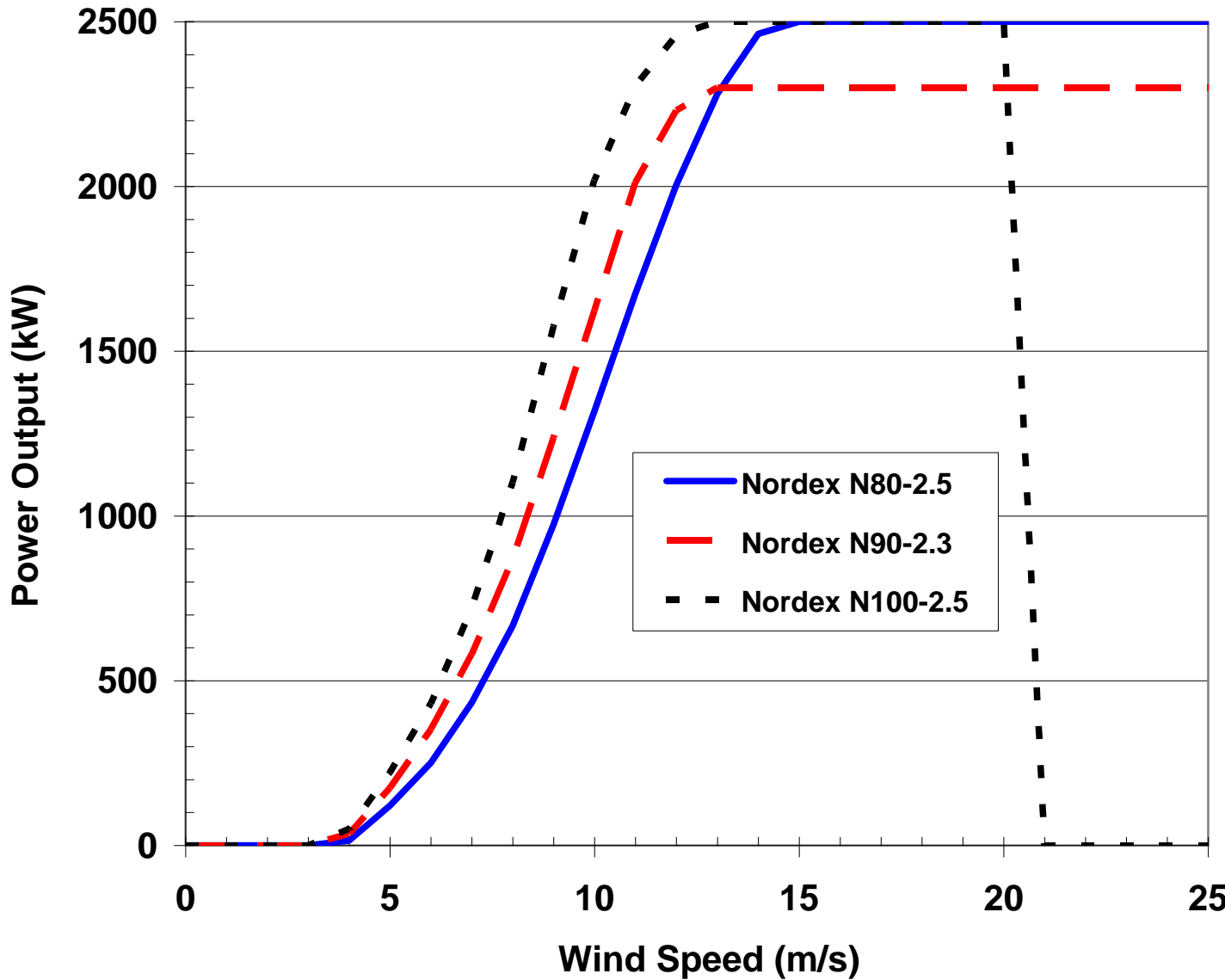




Eficiência diminui com velocidade de vento porque limitada à potência nominal



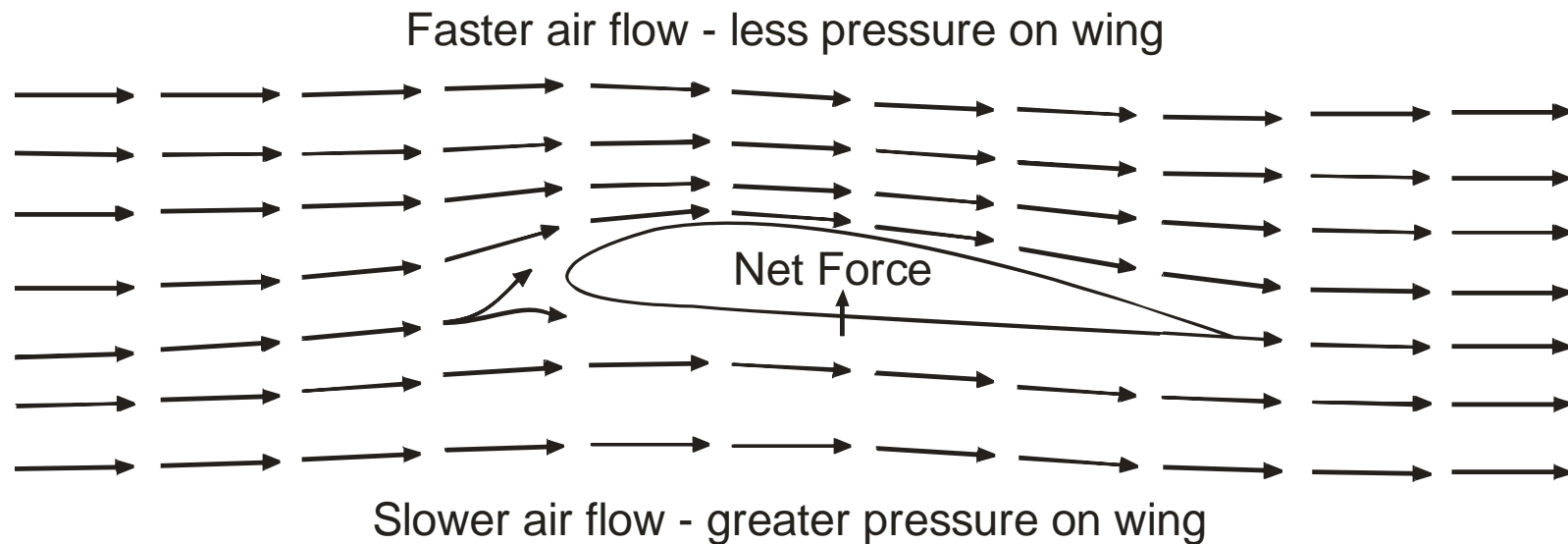
Curvas de potência para diferentes diâmetros de rotor



Curvas de potência para diferentes diâmetros de rotor e geradores

Qual a eficiência de uma turbina eólica

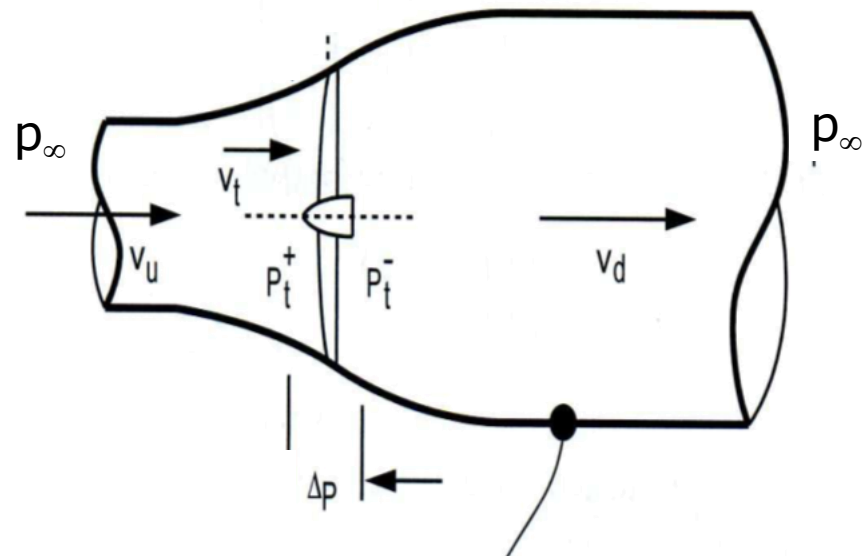
A pá de uma turbina funciona como uma asa de avião. O mecanismo é baseado na diferença de pressões nas duas faces da pá e não na força!



Qual a eficiência de uma turbina eólica

Ao longo de uma linha de corrente correspondente ao escoamento permanente de um fluido com viscosidade nula e massa volêmica constante, é válida a relação de **Bernoulli** (equação de conservação da energia mecânica transportada pelo fluido)

$$p + \frac{1}{2} \rho v^2 = \text{constante}$$



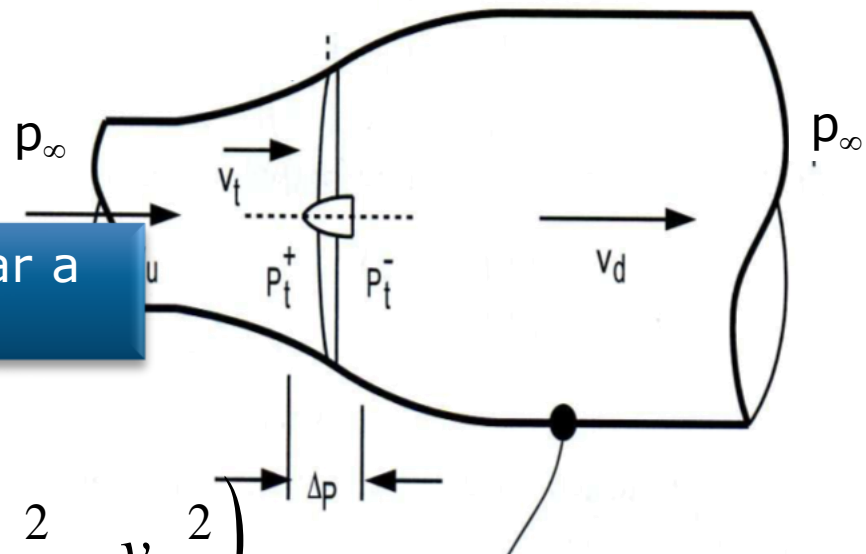
Qual a eficiência de uma turbina eólica

Trabalho realizado na turbina

$$W_t = (p_t^+ - p_t^-) \Phi :$$

Preciso de aprender a determinar a velocidade do fluido na turbina

e portanto $p_t^+ - p_t^- = \frac{1}{2} \rho (v_u^2 - v_d^2)$



Qual a eficiência de uma turbina eólica

Conservação de massa

$$V_u = V_t = V_d$$

$$A_u v_u \Delta t = A_t v_t \Delta t = A_d v_d \Delta t$$

$$A_u = A_t \frac{v_t}{v_u}$$

e portanto

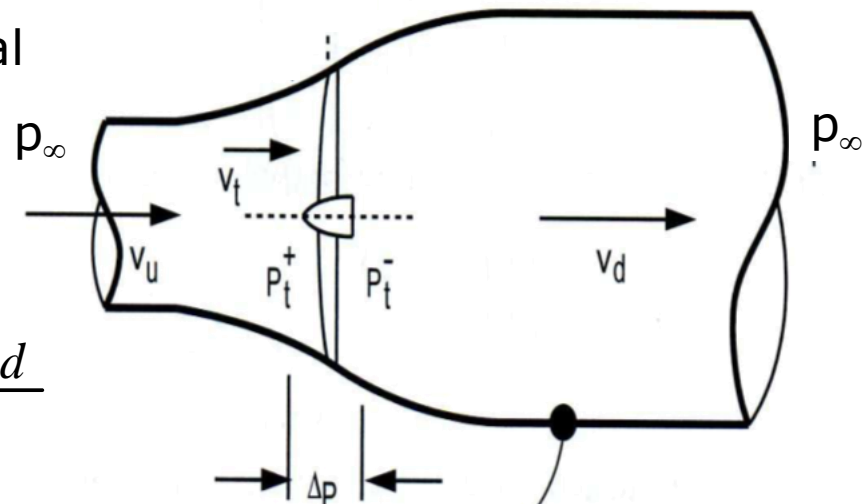
$$A_d = A_t \frac{v_t}{v_d}$$

Conservação de momento linear

(a força aplicada na turbina é igual à variação do momento linear transportado pelo fluido por unidade de tempo)

$$(p_t^+ - p_t^-) A_t = \frac{\rho V_u v_u}{\Delta t} - \frac{\rho V_d v_d}{\Delta t}$$

$$= \frac{\rho A_u v_u \Delta t v_u}{\Delta t} - \frac{\rho A_d v_d \Delta t v_d}{\Delta t} = \rho (A_u v_u^2 - A_d v_d^2)$$



Qual a eficiência de uma turbina eólica

Conservação de massa

$$V_u = V_t = V_d$$

$$A_u v_u \Delta t = A_t v_t \Delta t = A_d v_d \Delta t$$

$$A_u = A_t \frac{v_t}{v_u}$$

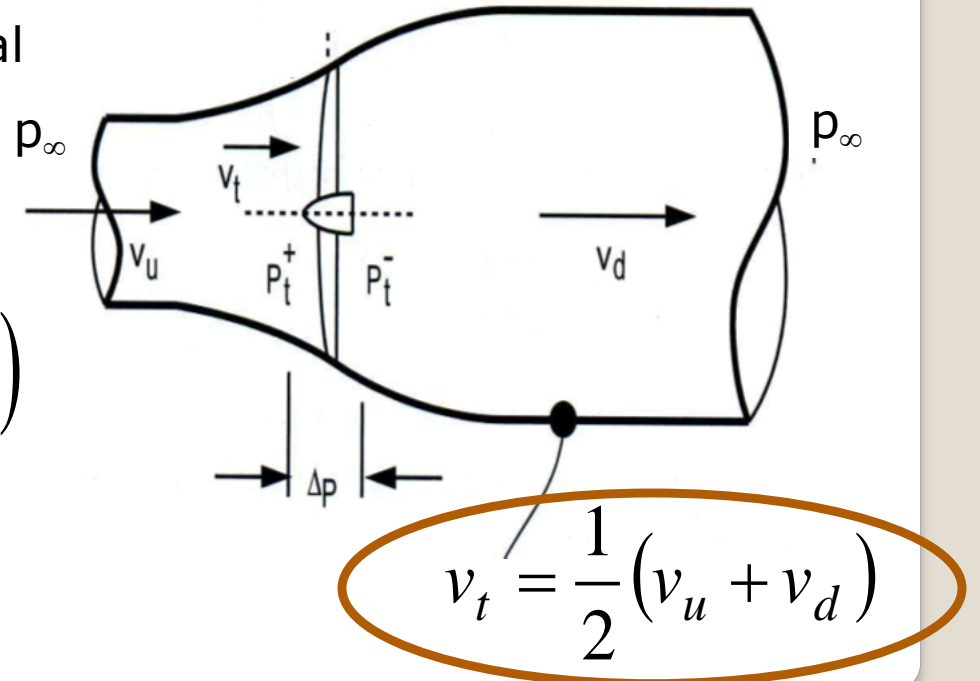
$$A_d = A_t \frac{v_t}{v_d}$$

Conservação de momento linear

(a força aplicada na turbina é igual à variação do momento linear transportado pelo fluido por unidade de tempo)

$$\begin{aligned} (p_t^+ - p_t^-) A_t &= \rho (A_u v_u^2 - A_d v_d^2) \\ &= \rho A_t v_t (v_u - v_d) \end{aligned}$$

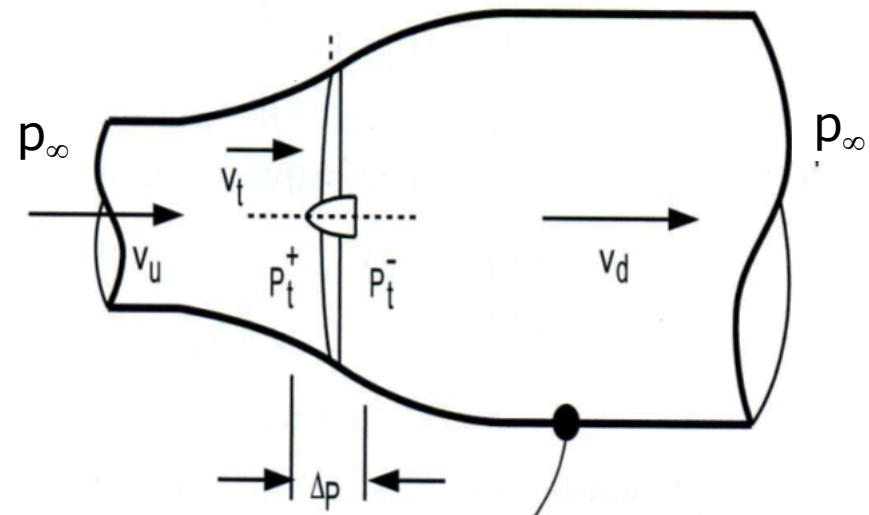
$$(p_t^+ - p_t^-) = \rho v_t (v_u - v_d)$$



Qual a eficiência de uma turbina eólica

Trabalho realizado na turbina

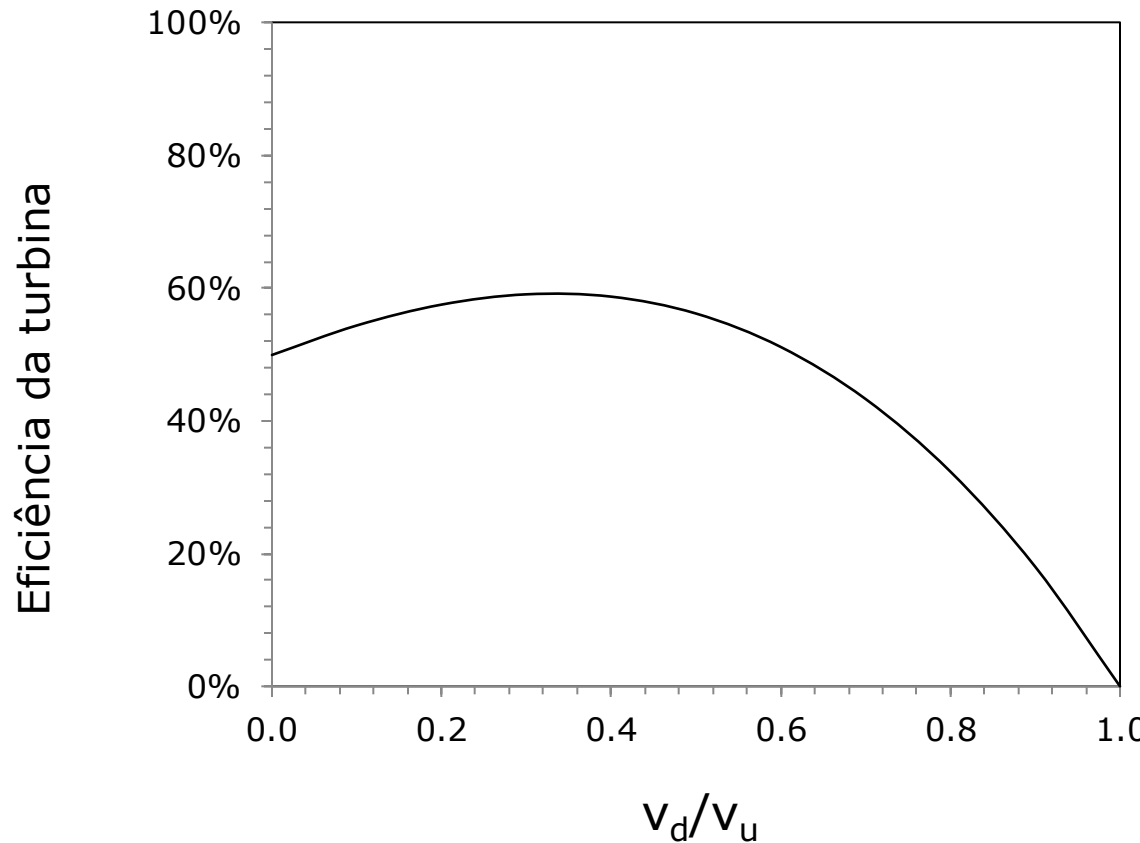
$$W_t = \frac{1}{2} A \rho (v_u^2 - v_d^2) v_t = \frac{1}{4} A \rho (v_u^2 - v_d^2) (v_u + v_d)$$



$$\left) \frac{16}{27}$$

Limite de Betz

Qual a eficiência de uma turbina eólica



$$\rightarrow W_t = \left(\frac{1}{2} A \rho v_u^3 \right) \frac{16}{27}$$

Limite de Betz

Qual a eficiência de uma turbina eólica

Eficiência total

= eficiências aerodinâmica x mecânica x eléctrica

= 60% (Betz) x 96-99% x 96-99%

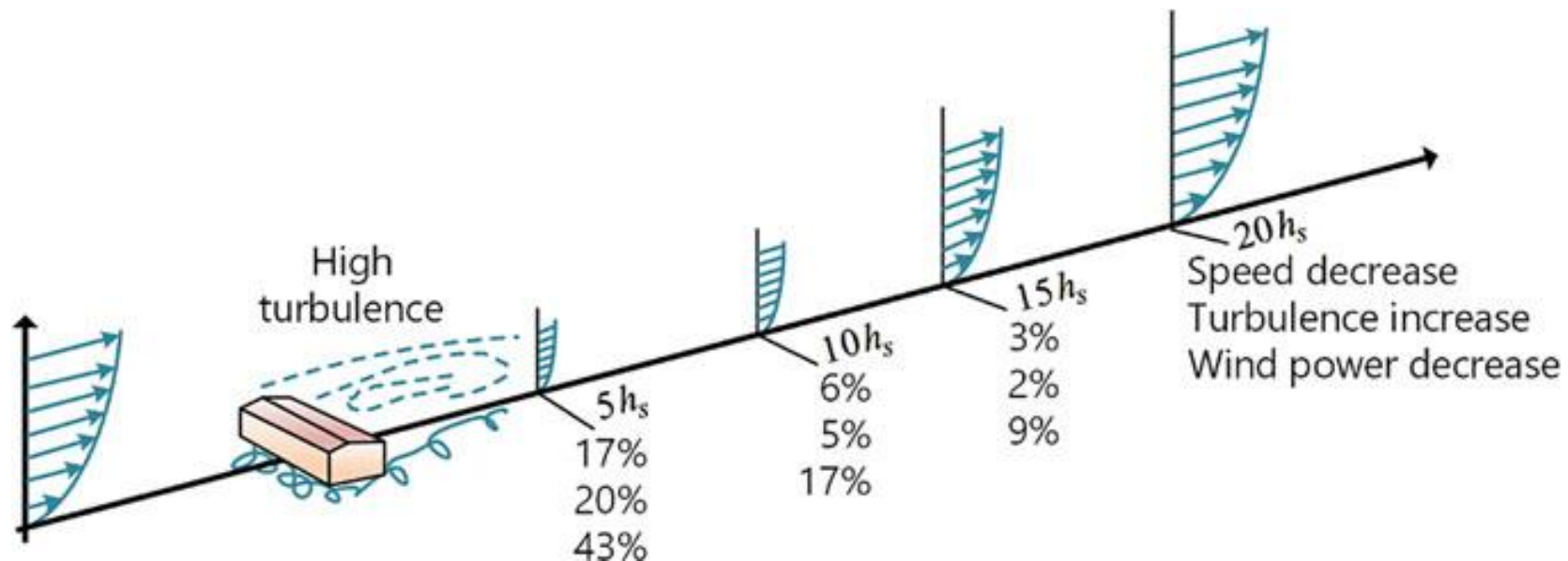
= 44% (valor pico) x 96-99% x 96-99%

= 25% (valor médio) x 96-99% x 96-99%

Qual a densidade de energia de uma parque eólico



Efeito esteira – umas turbinas interferem com as outras



Qual a densidade de energia de uma parque eólico



Considerando 5 diâmetros de folga entre turbinas cada turbina ocupa $25 D^2$

Efeito esteira – umas turbinas interferem com as outras

Qual a densidade de energia de uma parque eólico

$$\frac{P}{A} = \frac{\left(\frac{1}{2} A \rho v_u^3\right) \frac{16}{27}}{25 D^2} = A \frac{\left(\frac{1}{2} \rho v_u^3\right) \frac{16}{27}}{25 D^2}$$

$$= \pi \left(\frac{D}{2}\right)^2 \frac{\left(\frac{1}{2} \rho v_u^3\right) \frac{16}{27}}{25 D^2} = \frac{2\pi \rho v_u^3}{27 \times 25}$$

Assumindo

$$\begin{cases} \rho = 1.3 \text{ kg/m}^3 \\ v_u = 6 \text{ m/s} \end{cases} \rightarrow \frac{P}{A} = 2.6 \text{ W/m}^2$$

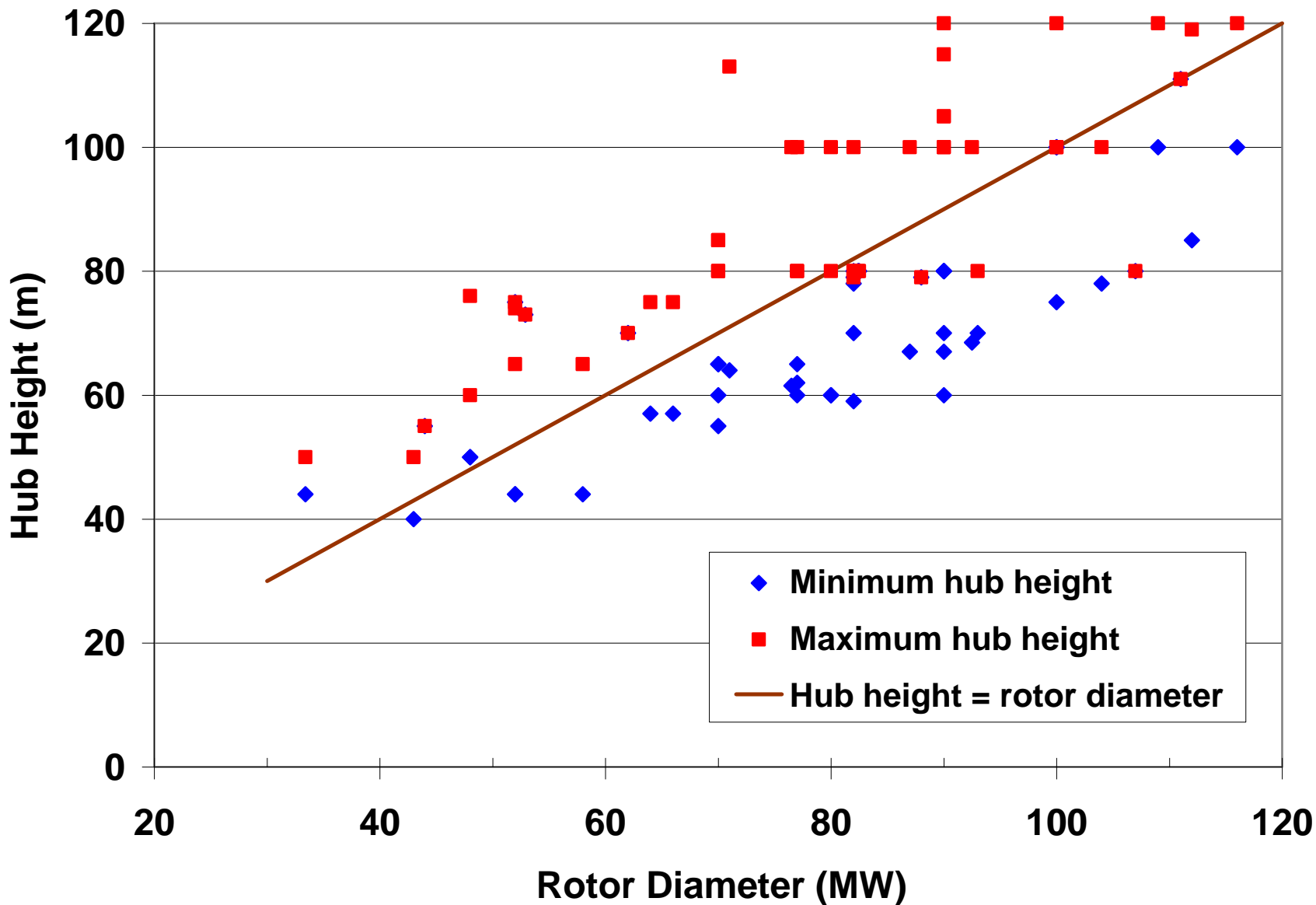
Qual a densidade de energia de uma parque eólico



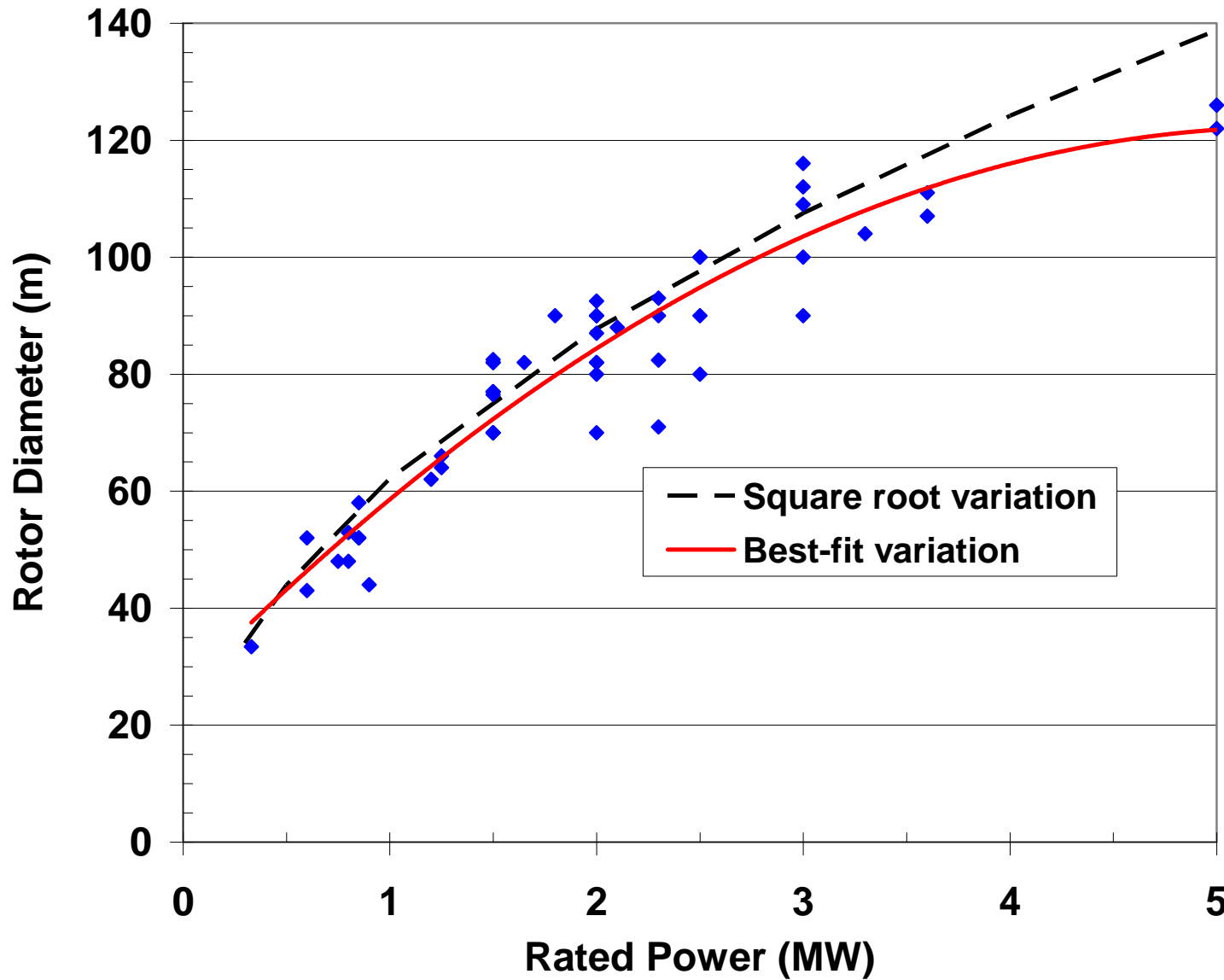
Assumindo

$$\left\{ \begin{array}{l} \rho = 1.3 \text{ kg/m}^3 \\ v_u = 6 \text{ m/s} \end{array} \right. \rightarrow \frac{P}{A} = 2.6 \text{ W/m}^2$$

Mas a área ocupada não é de uso exclusivo pelas turbinas e pode ter outros usos.



Altura da turbina parecida com o diâmetro do rotor



Quanto maior o diâmetro do rotor maior a potência nominal

Se a densidade de energia (kWh/m²) não depende da potência, porquê fazer cada vez maiores turbinas?

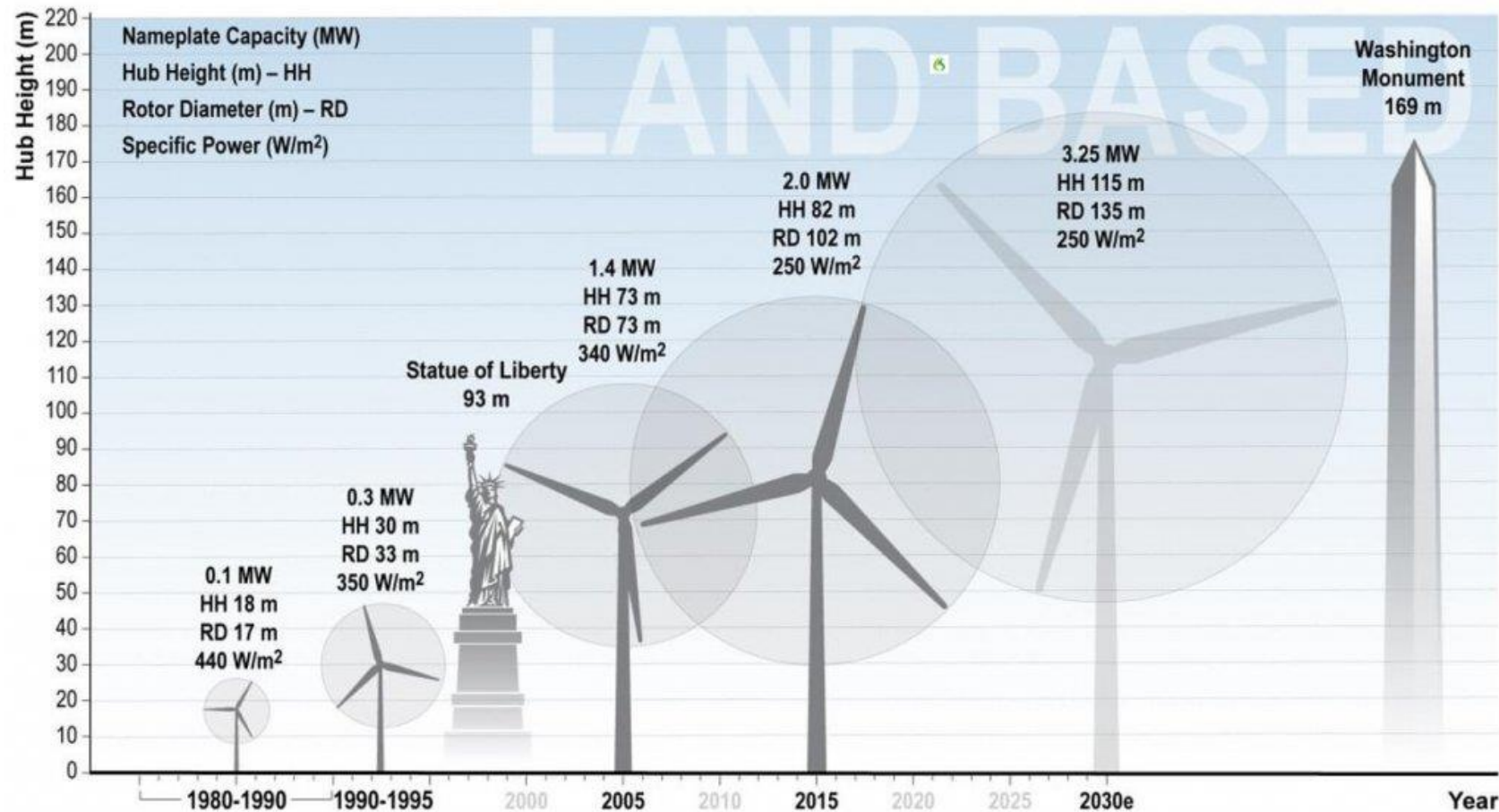


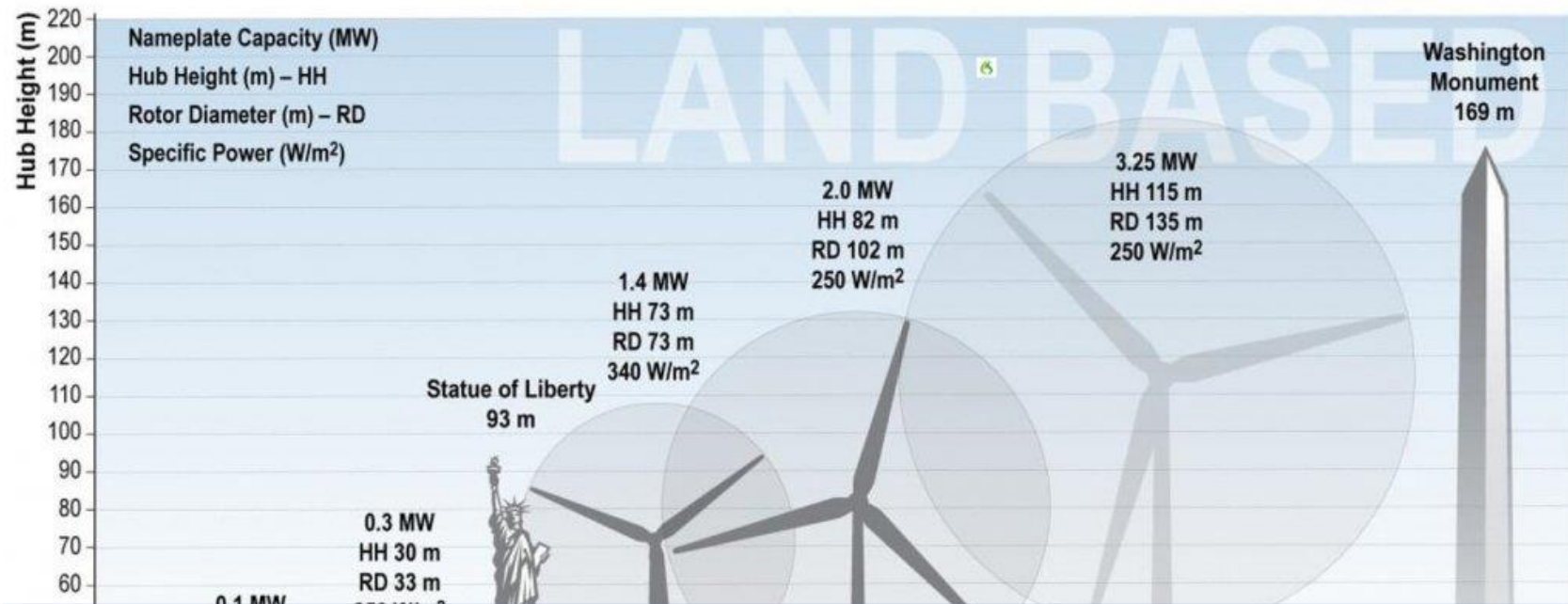
Figure 1. Expected Growth in Land-Based Turbine Size in North America

Se a densidade de energia (kWh/m²) não depende da potência, porquê fazer cada vez maiores turbinas?



- Como a potência aumenta com v^3 e a velocidade média do vento aumenta com a altura, turbinas mais altas produzem mais do que turbinas menores
- A diferença entre vento no topo e fundo das pás é menor quanto mais alta a turbina
- A turbulência diminui com altura, e portanto distribuição de vento também é mais favorável.

Se a densidade de energia (kWh/m²) não depende da potência, porquê fazer cada vez maiores turbinas?

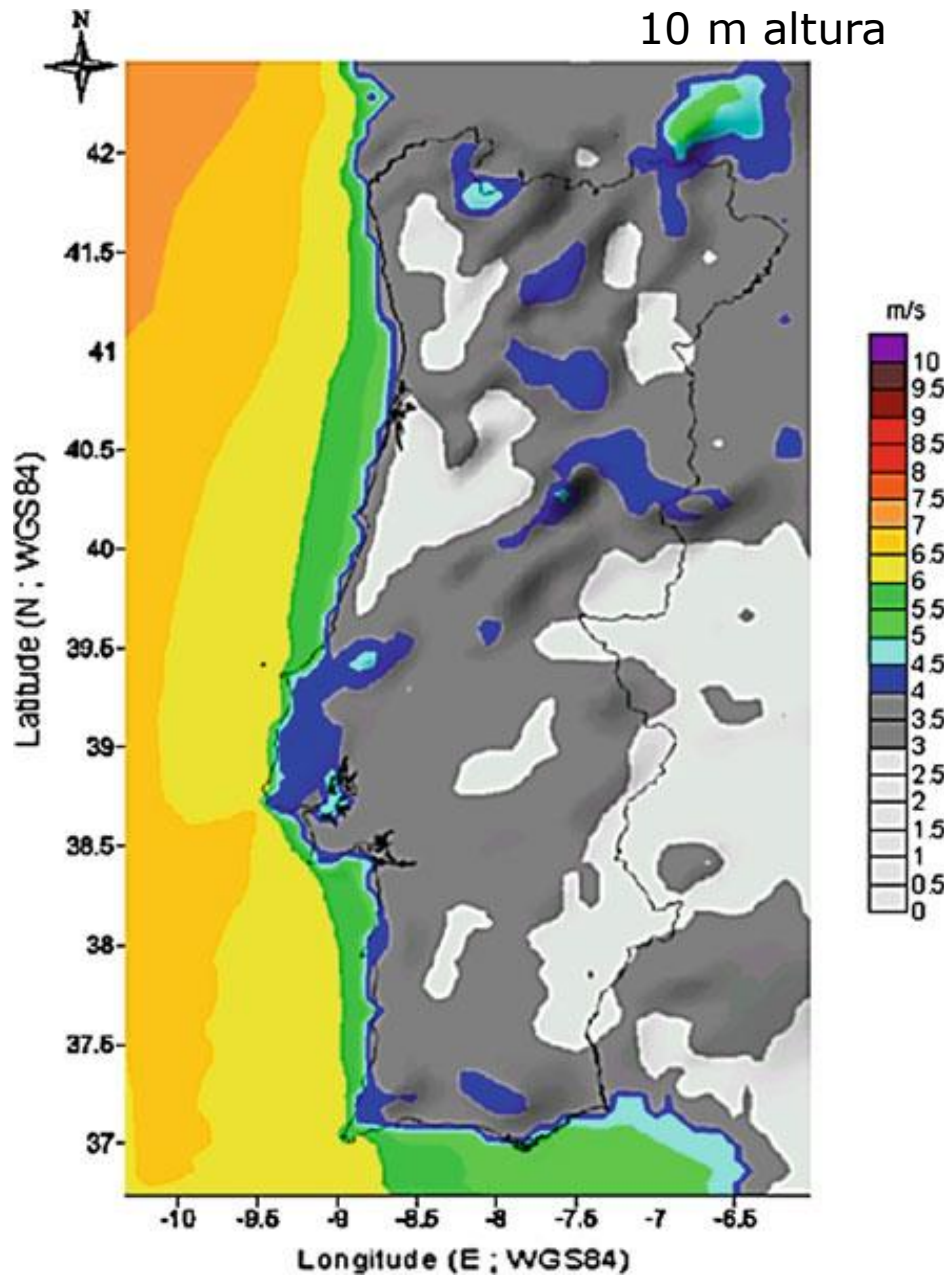


- Desafios logísticos: transporte de pás e torre; mesmo se fosse transportado em segmentos e montado no local, é preciso levar a grua...
- Poucas turbinas maiores introduzem mais flutuações na rede do que muitas turbinas pequenas

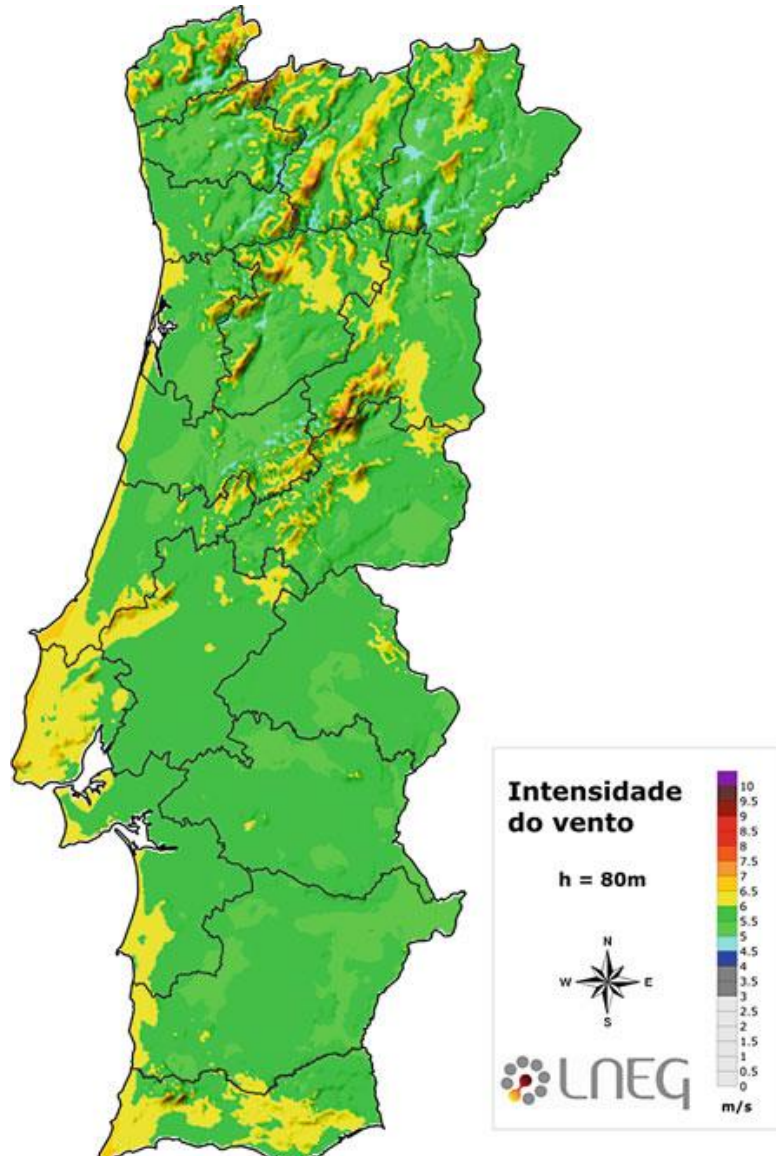
80 m altura



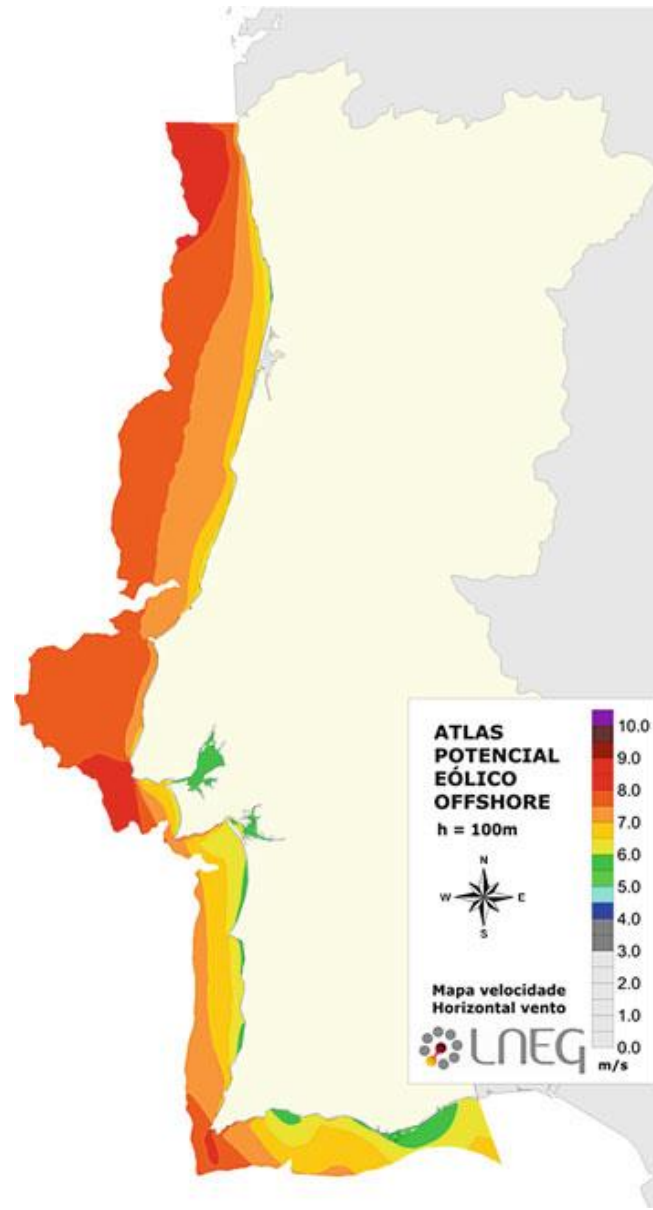
10 m altura

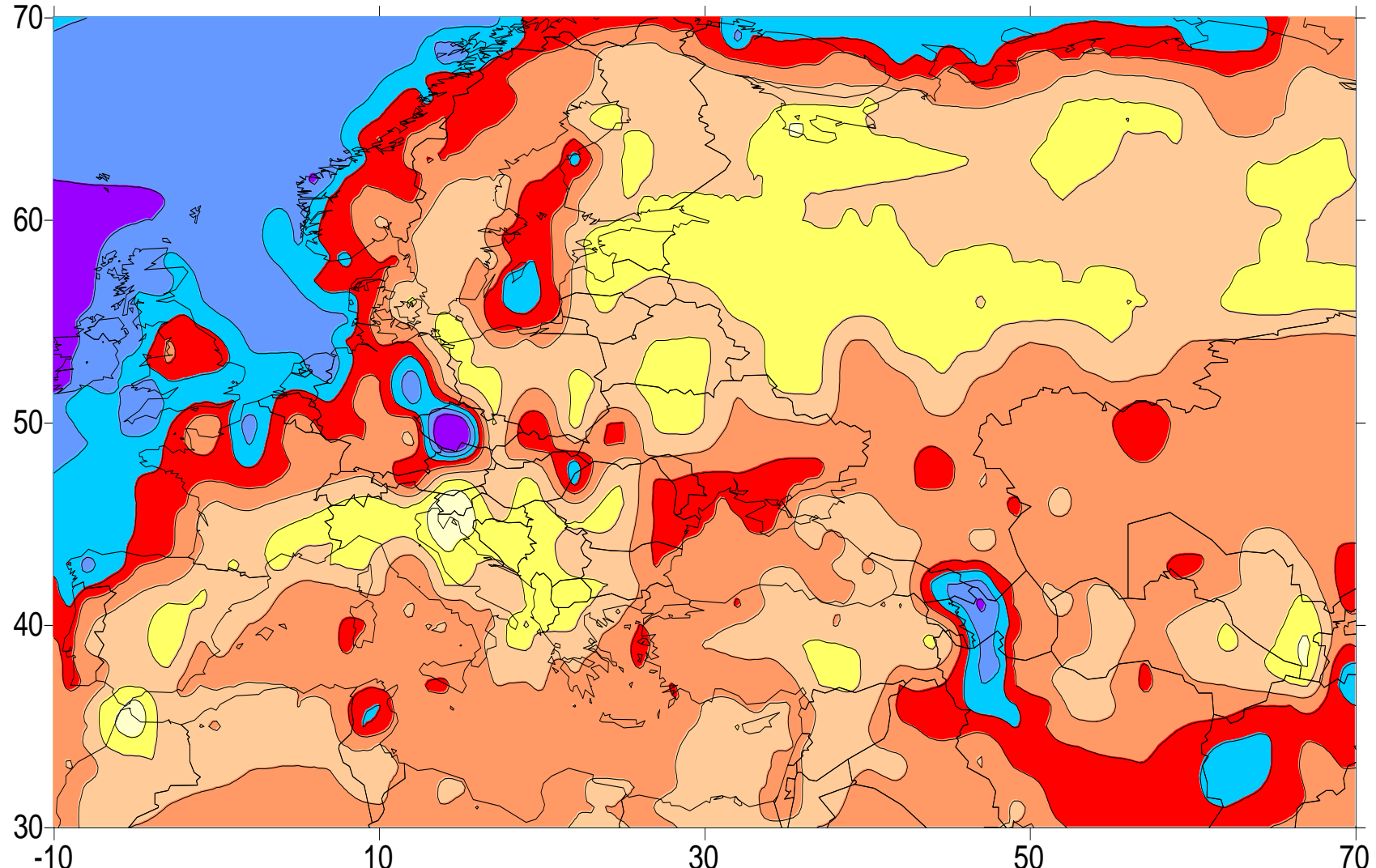


80 m altura



100 m altura



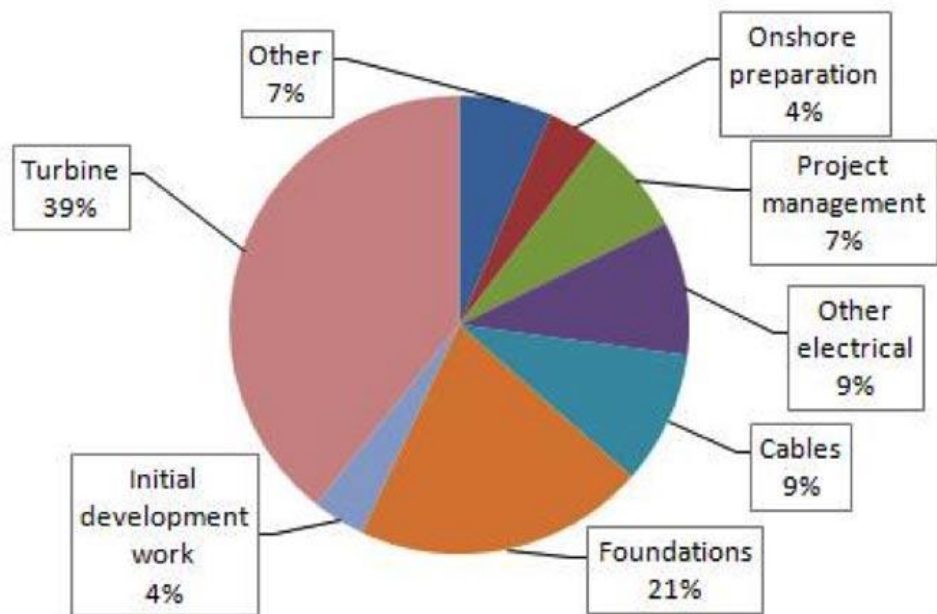


Wind speed (m/s) @ 100m

Parques eólicos offshore

- custos mais elevados (2-3x)
- maior produção de electricidade (2x)
- maior factor de capacidade
40-50% em vez de 20-25%

Typical offshore wind energy project costs



Parques eólicos offshore

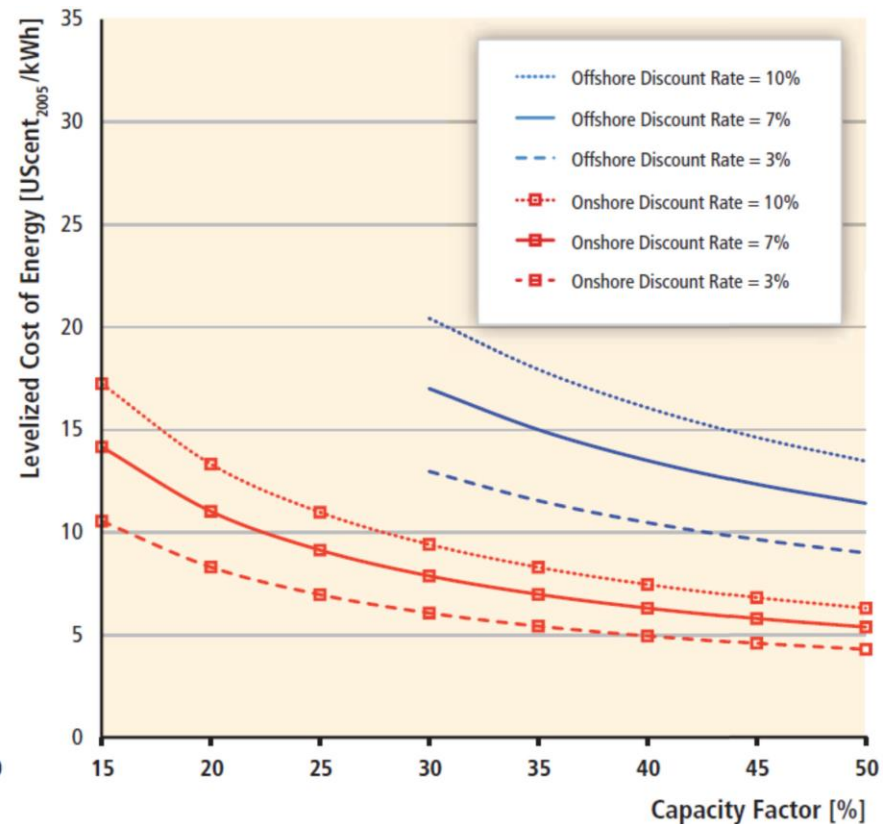
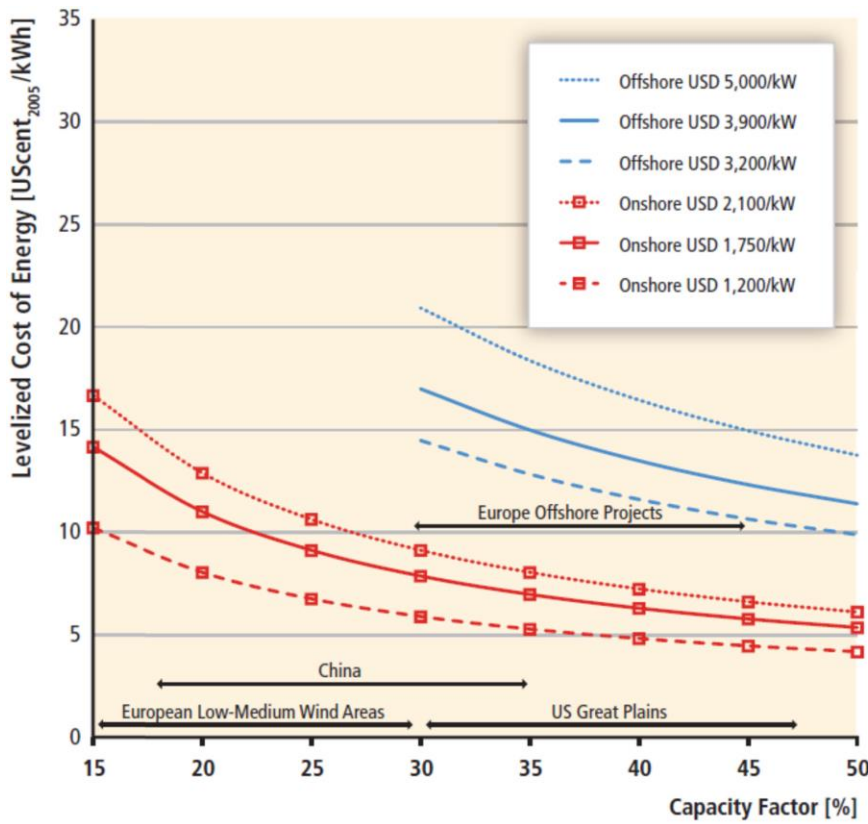




Figure 1. Recent strike prices of European offshore wind winning tenders adjusted to U.S. dollars, with grid cost, development cost, and contract length adders

New offshore wind installations

Europe China Rest of the world

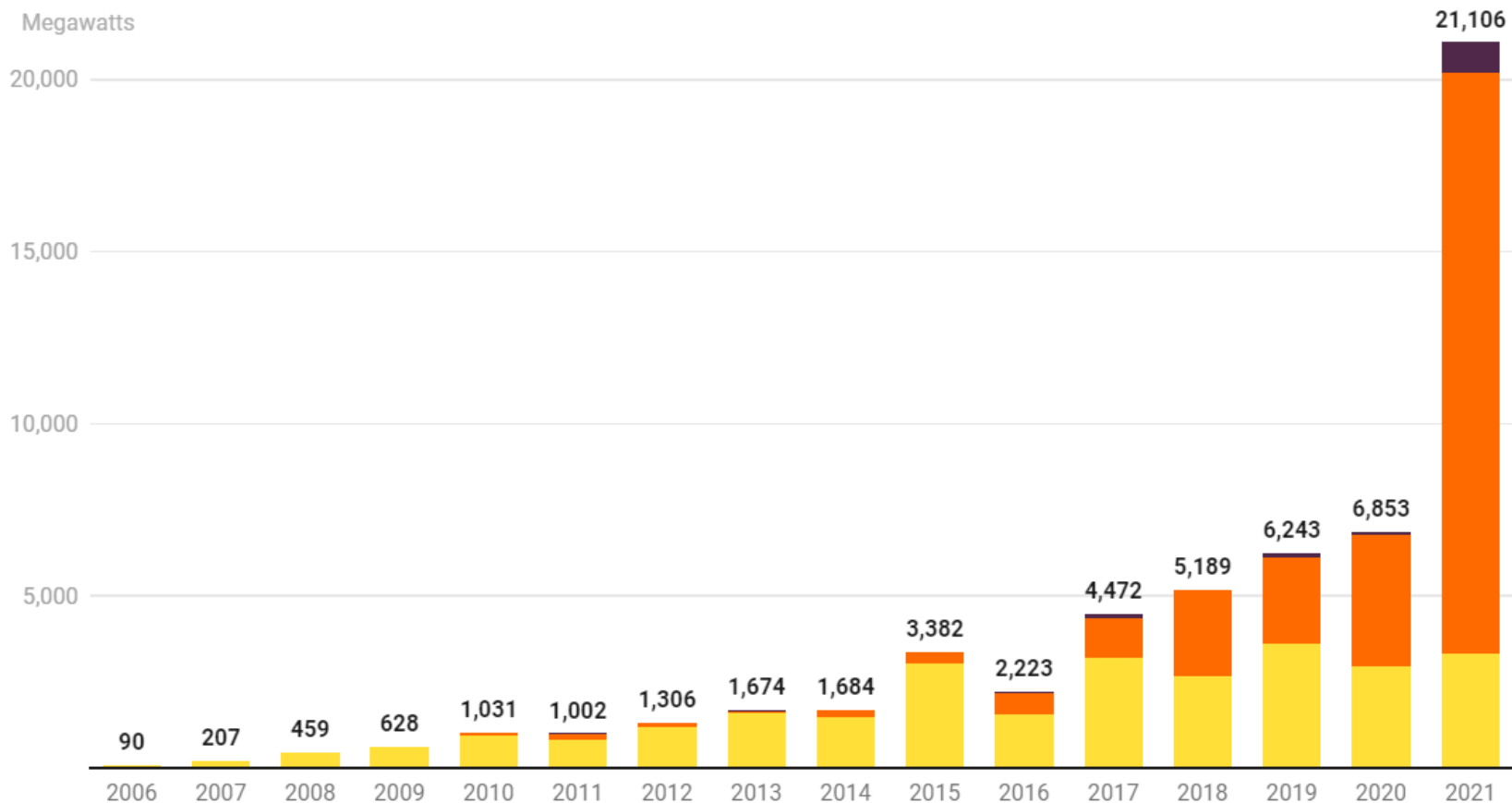
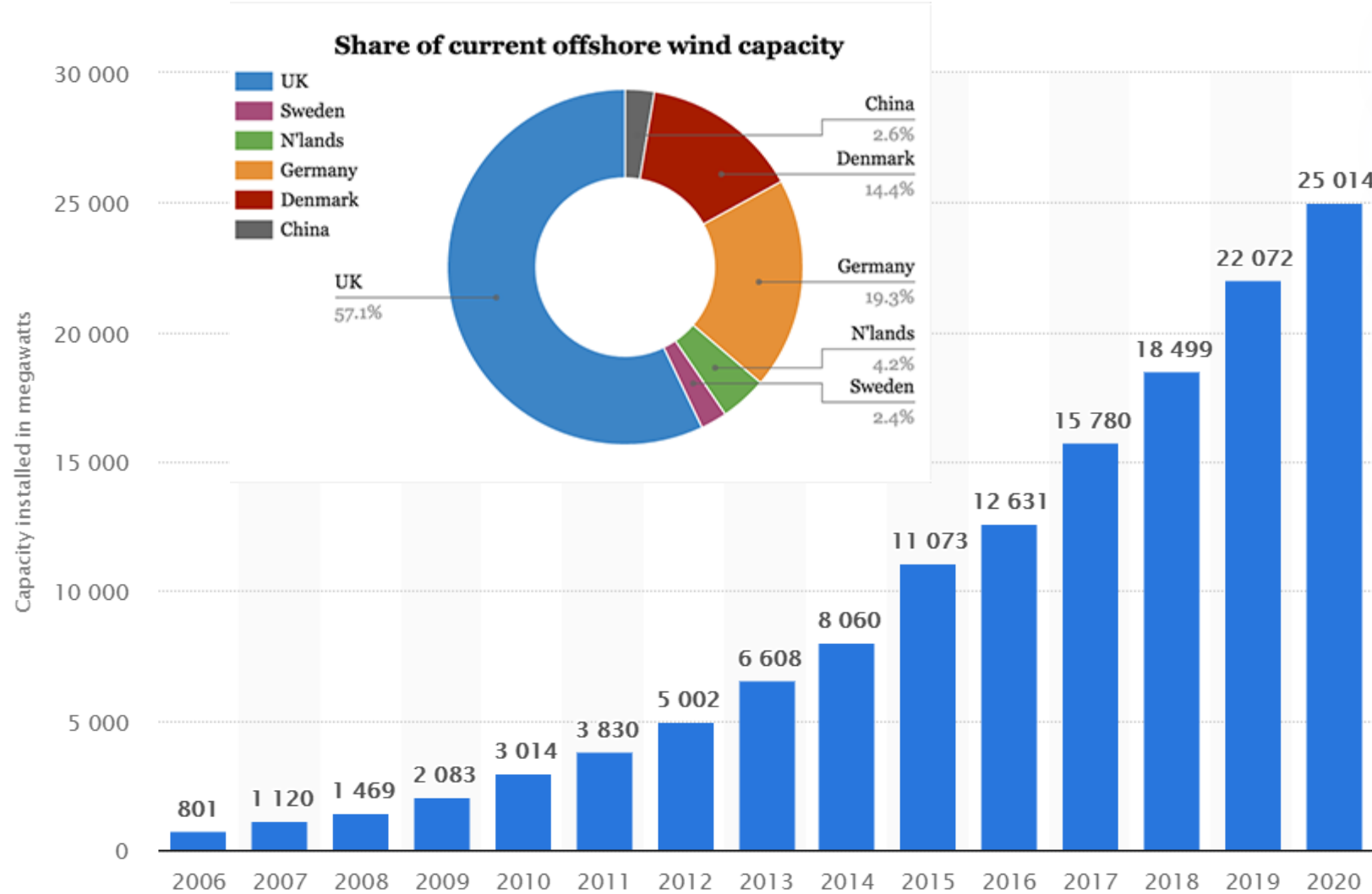
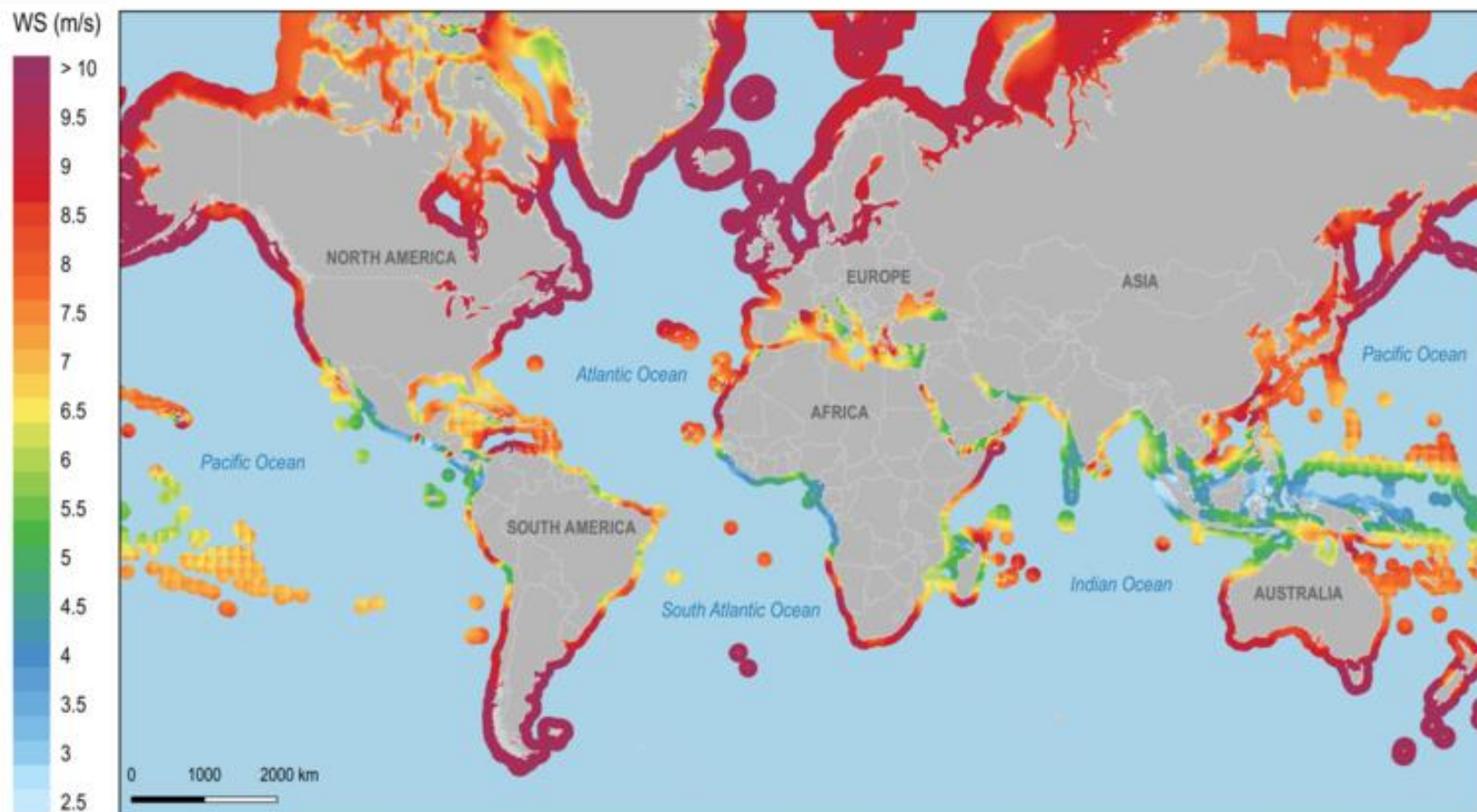


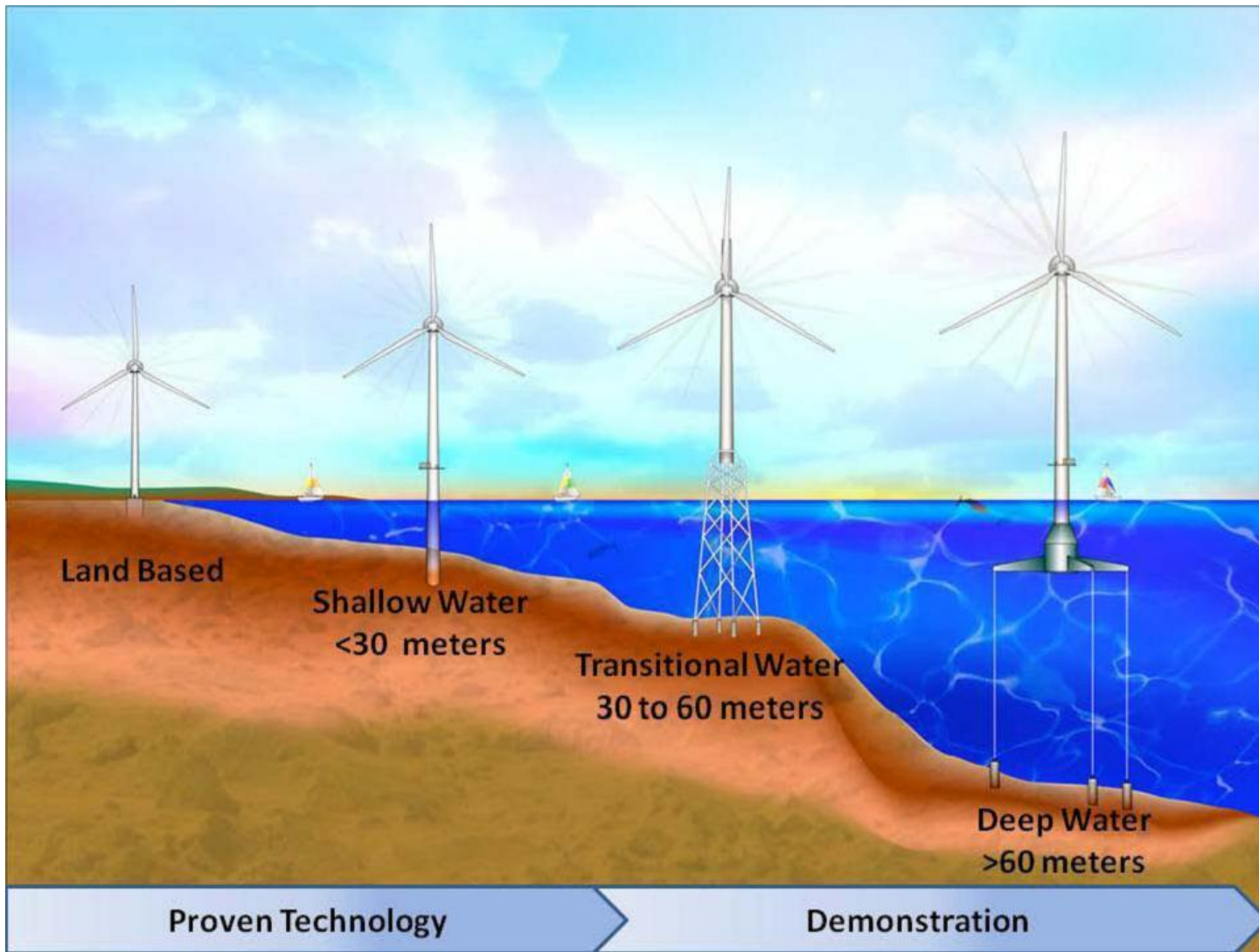
Chart: Canary Media • Source: Global Wind Energy Council • [Embed](#)



Global Offshore Wind Speeds



This wind resource map provides an estimate of mean annual wind speeds (m/s) extending 200 kilometers from shore at a hub height of 100 meters. It is provided under a World Bank Group (WBG) initiative on offshore wind that is funded and led by the Energy Sector Management Assistance Program (ESMAP). For more information please visit: <https://esmap.org/offshore-wind>. The wind resource data is from the Global Wind Atlas (version 3.0), a free, web-based application that provides data with a 100 m resolution based on the latest input datasets and modeling methodologies. For more information please visit: <https://globalwindatlas.info>.



Windfloat

Phase 1 - 2MW Prototype

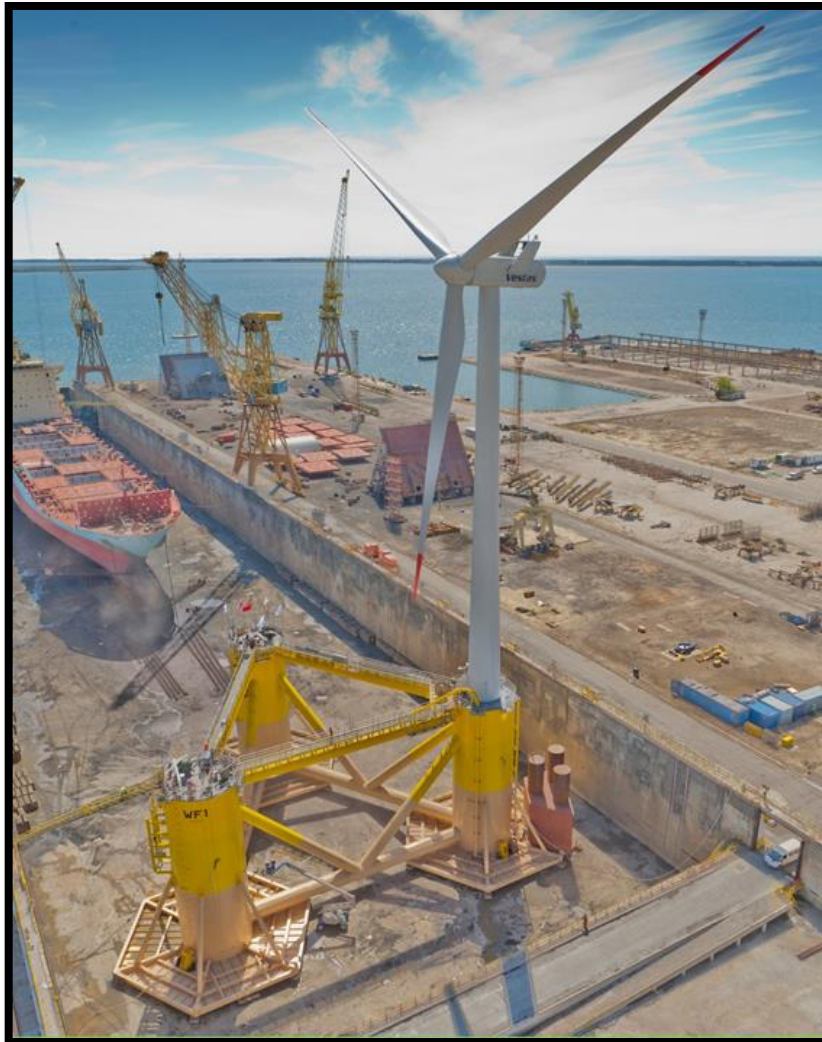
Capacity: 2MW WindFloat prototype

Location: Aguçadoura, grid connected

~5 km of coast, 40 - 50 m water depth

Turbine: 2MW offshore wind turbine

Test period: at least 12 months



Phase 2 - Pre-commercial

Capacity: 15 - 25MW – 3 to 5 WindFloat units

Location: TBD, grid connected

Turbine: TBD, Multi MW

Transformer/support platform: Yes

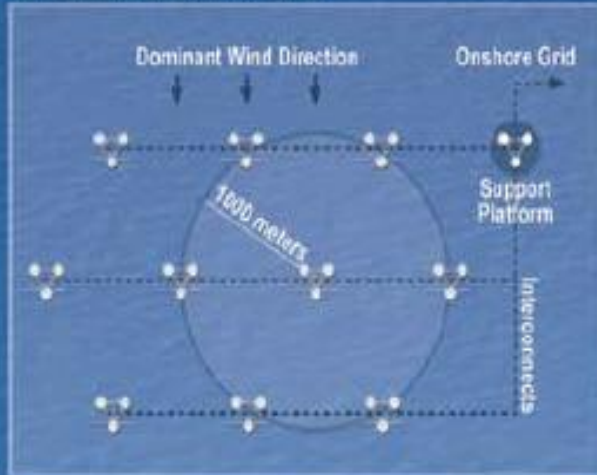
Phase 3 - Commercial

Capacity: 150MW, gradual build-out

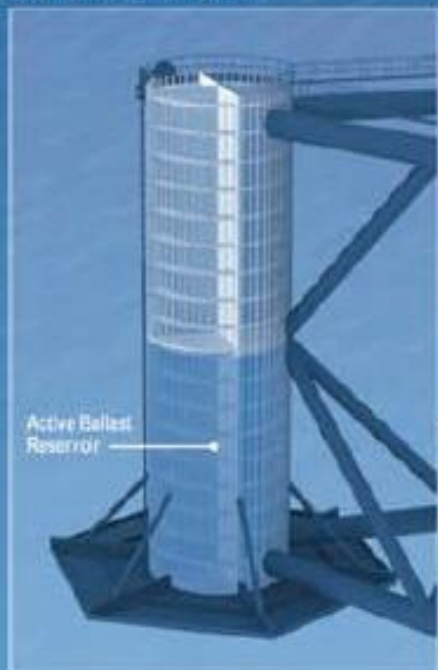
Location: TBD, same as Phase 2

Turbine: TBD, same as Phase 2

Wind Farm and Interconnect Layout



Column Stabilization and Closed Loop Active Ballast System



Integrated Column/Tower



Chain Jacks, Boat Landing and Safety Equipment



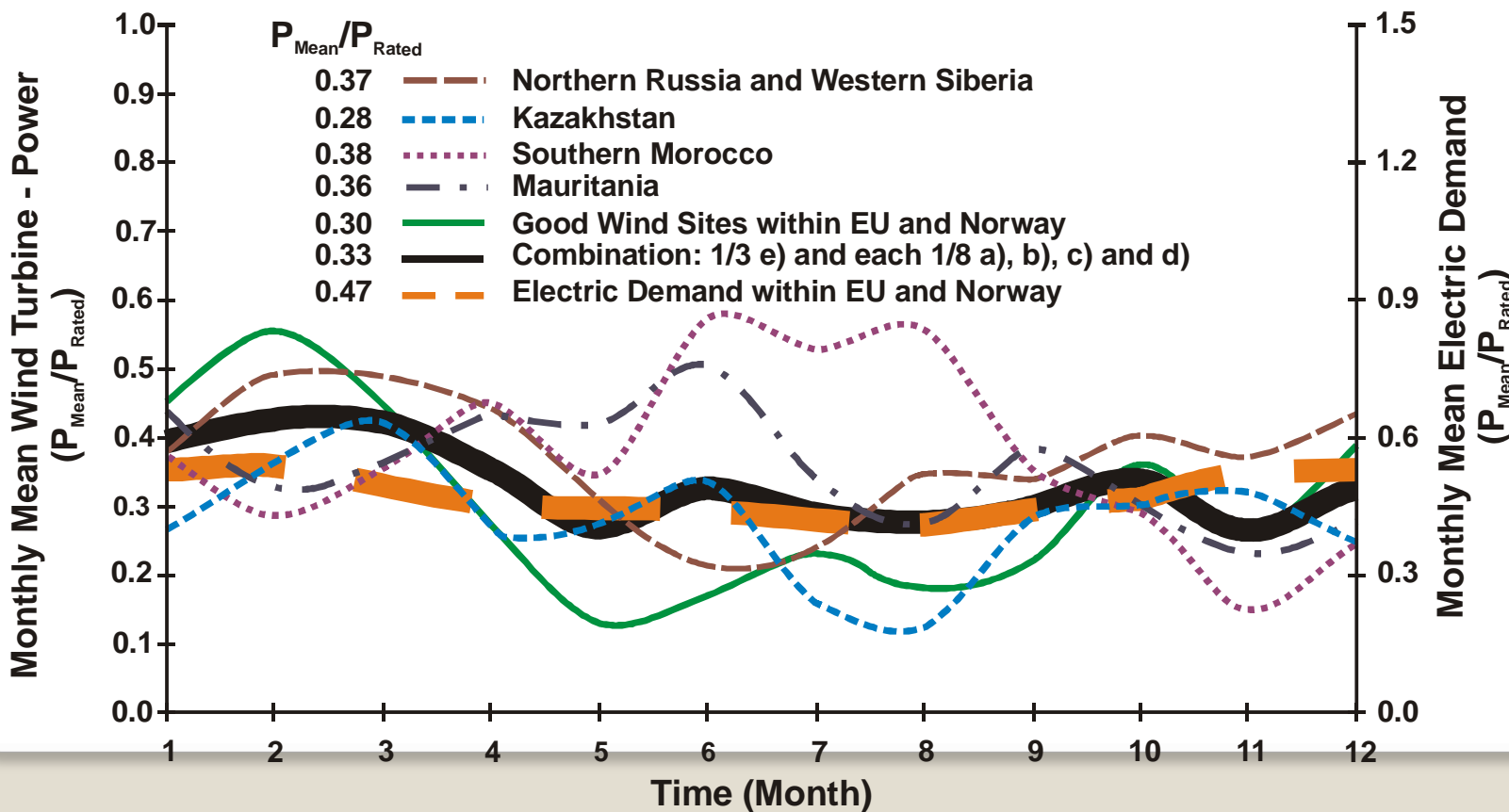




A **variabilidade** do vento

introduz variabilidade e **imprevisibilidade** na produção de electricidade e na resposta instantanea à procura

Soluções/remédios



A **variabilidade** do vento

introduz variabilidade e **imprevisibilidade** na produção de electricidade e na resposta instantanea à procura

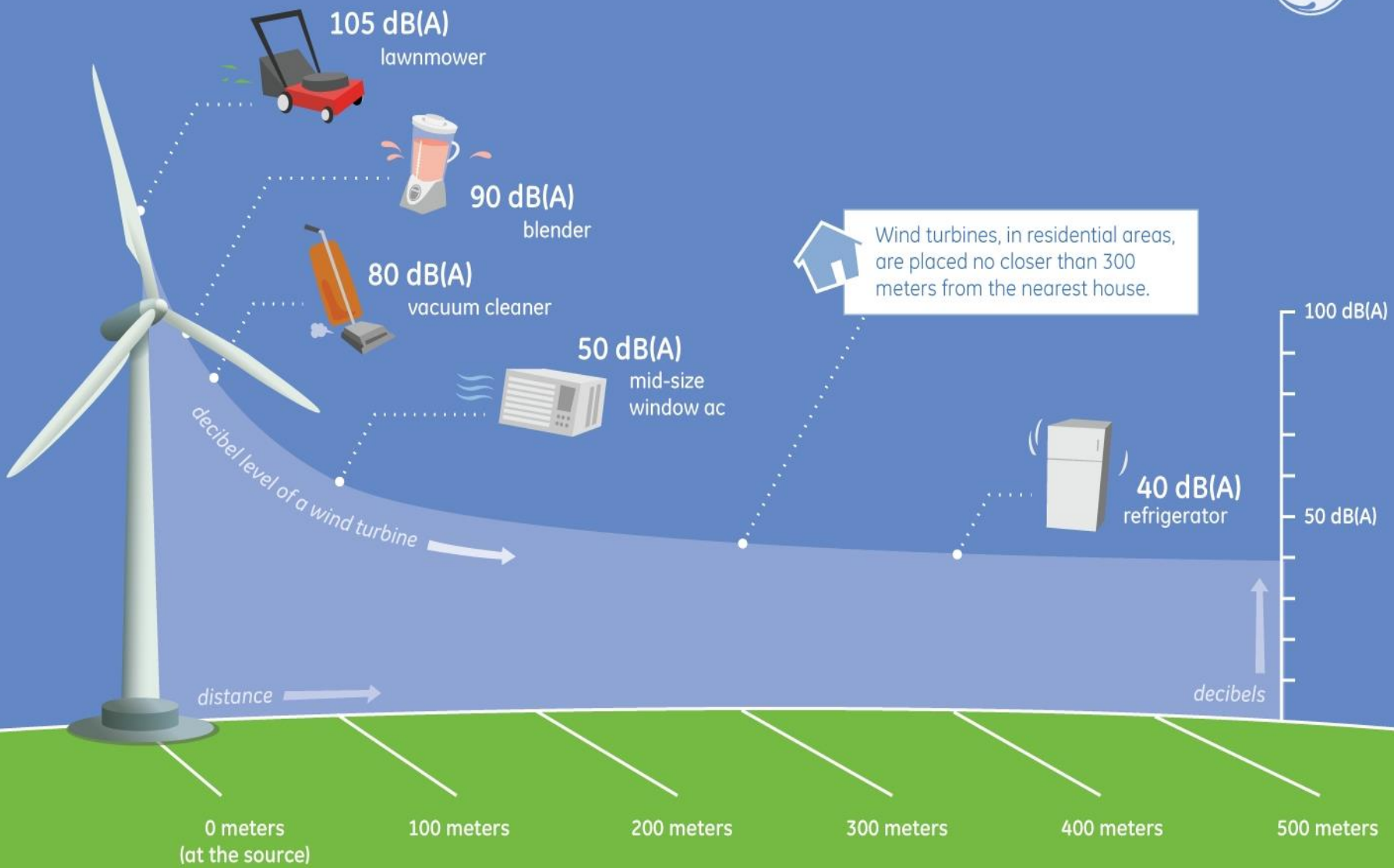
Soluções/remédios

- Ligação entre parques não correlacionados
- Melhorar **previsão** a curto-médio prazo
- Centrais de **backup**,
 - mais caras porque funcionam em regimes ineficientes
 - mais caras porque têm que estar prontas para intervir
- Armazenamento de energia
 - bombagem de água em albufeiras
 - baterias (carros eléctricos?)

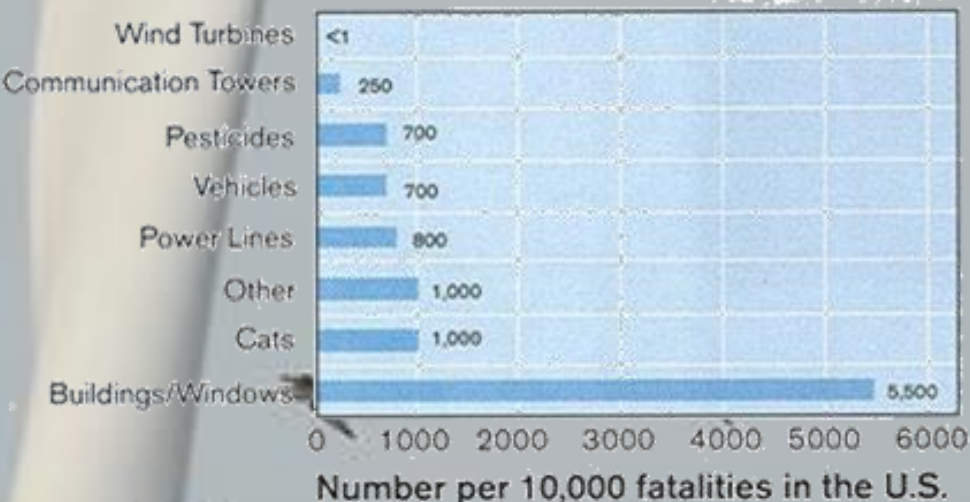
Impactos relevantes do desenvolvimento de parques eólicos

- na rede eléctrica, devido à **variabilidade**
- **ruído**, que perturba população e biodiversidade
- mortalidade **avifauna**
- alteração da **paisagem**

How Loud Is A Wind Turbine?



Causes of Bird Fatalities



P2

ÍPSILON

CULTO

FUGAS

P3

CINECARTAZ

CIÉNCIA > ESPAÇO MEDICINA ECOSFERA

Ent.



AMBIENTE

Turbinas eólicas “roubam” habitat a aves planadoras

Parques eólicos estão localizados em espaços que oferecem as condições necessárias ao voo planado das aves. No entanto, as aves planadoras não conseguem utilizar estes locais o que se traduz numa perda de habitat de cerca de 700 metros à volta de cada turbina.

Margarida Coutinho · 14 de Março de 2019, 11:21

343
PARTILHAS



Ouvir em Direto

ECONOMIA

Proposta do Governo para eólicas no mar coloca em risco a ave marinha mais ameaçada da Europa

Das cinco áreas propostas para aumentar a capacidade eólica portuguesa em alto mar uma delas entra dentro de uma área protegida.

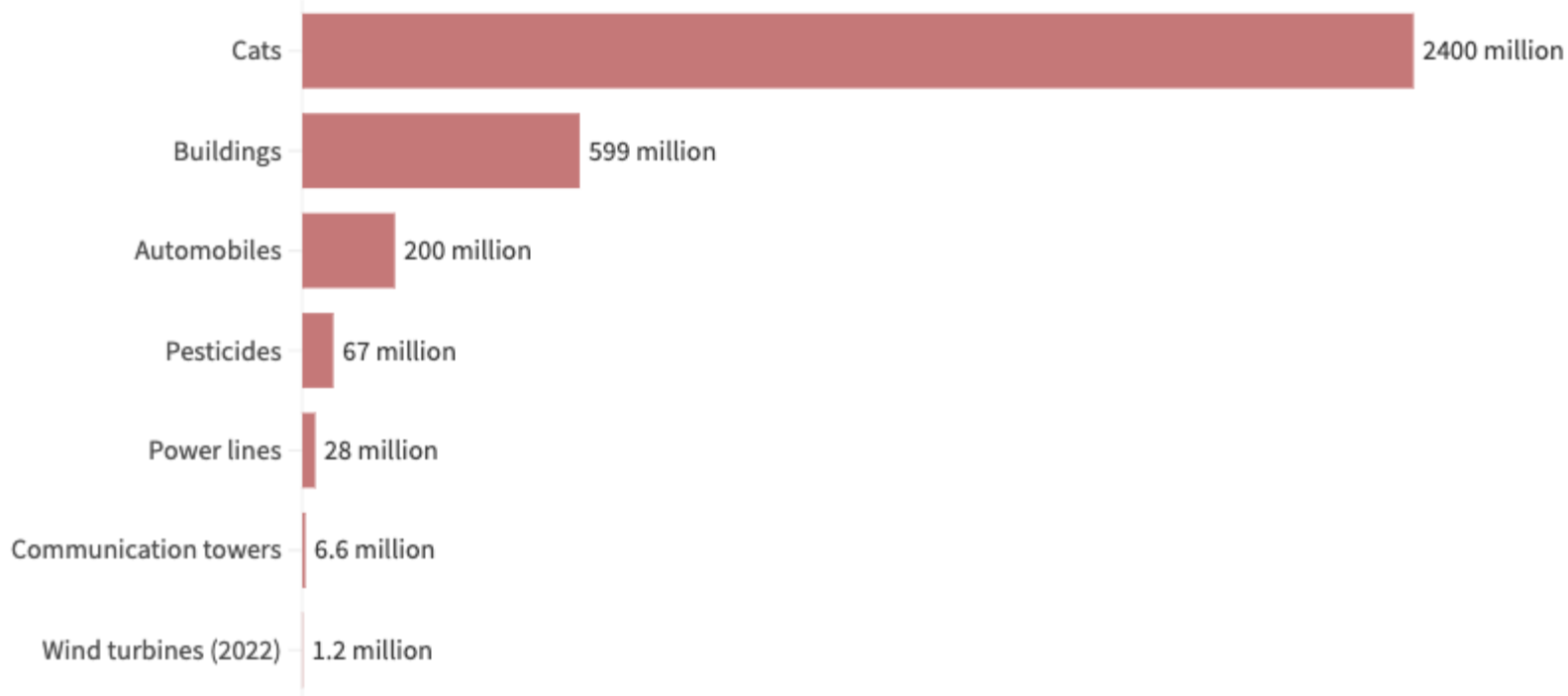
Por José Milheiro

30 Janeiro, 2023 • 14:06

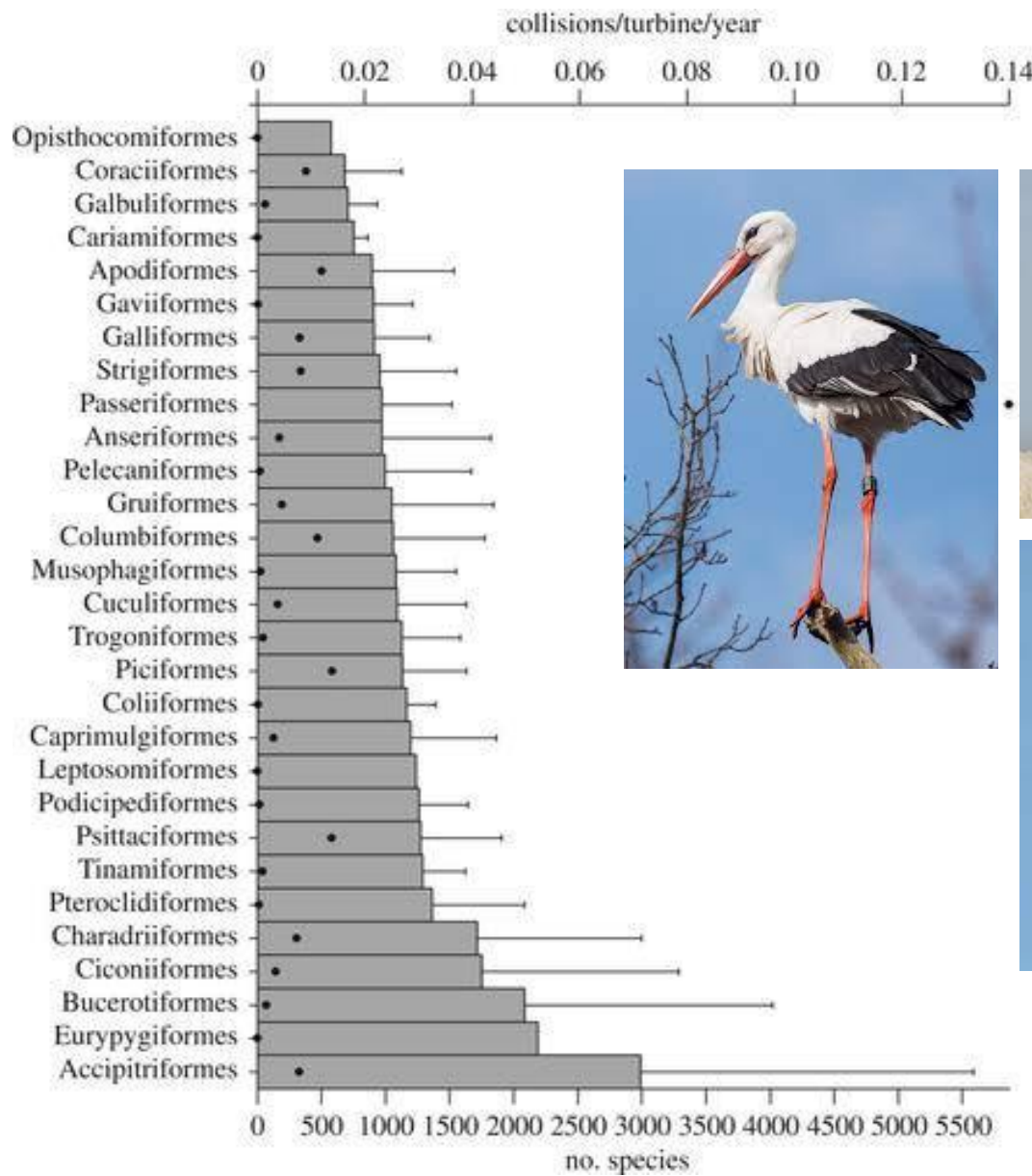
Esta ZPE foi justificada pela "utilização do meio marinho adjacente à costa continental portuguesa por diversas espécies de aves, algumas das quais com estatuto de ameaça desfavorável, entre as quais se destaca a pardela-balear", pode ler-se no decreto regulamentar que criou este estatuto de proteção para a ave marinha mais ameaçada da Europa.

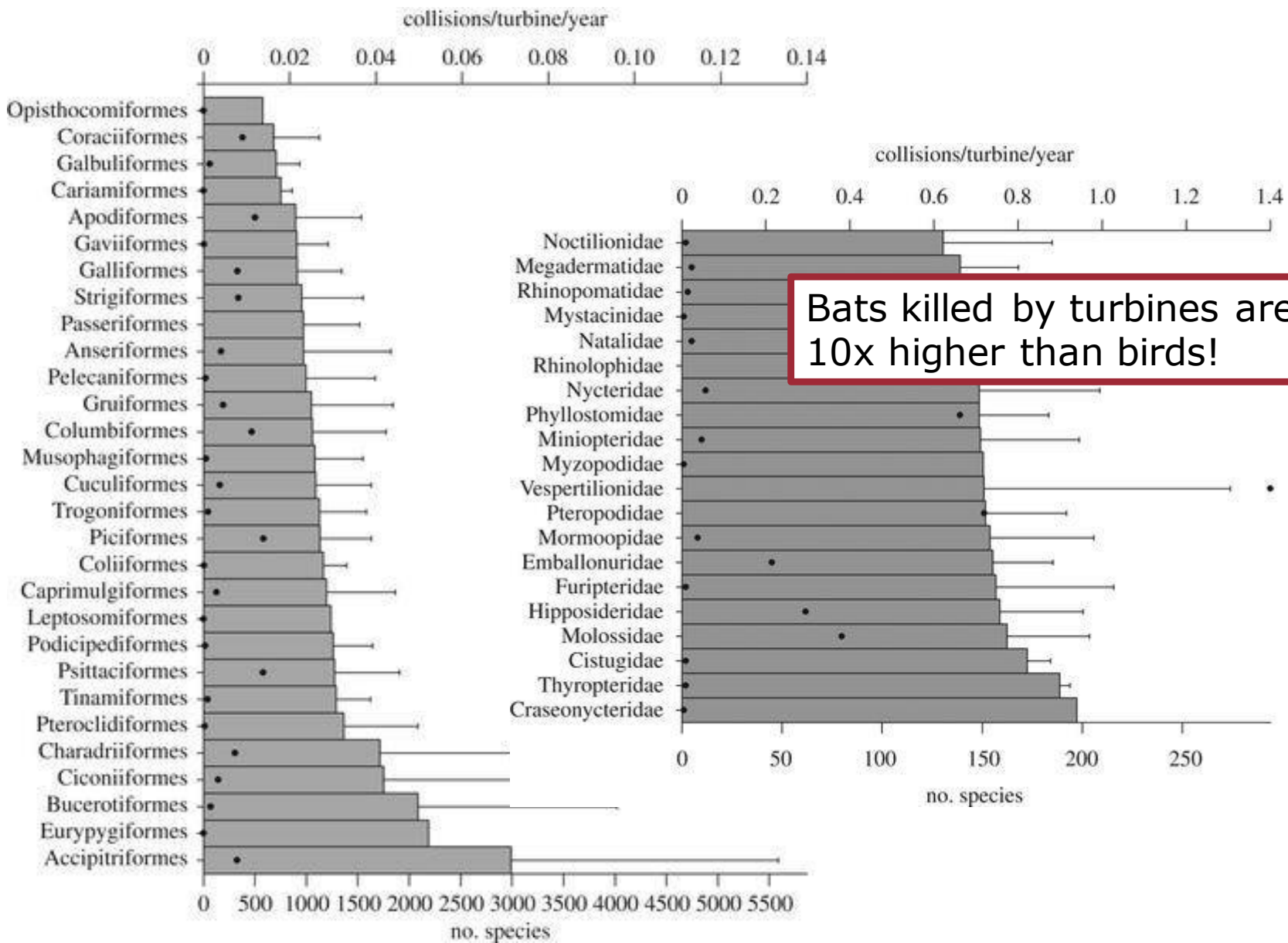
"As áreas de Leixões e da Figueira da Foz são adjacentes ao limite exterior do Sítio de Importância Comunitária Maceda/Praia da Vieira" aprovado em 2019 e destinado à proteção dos golfinhos.

Birds killed by different hazards in the US per year

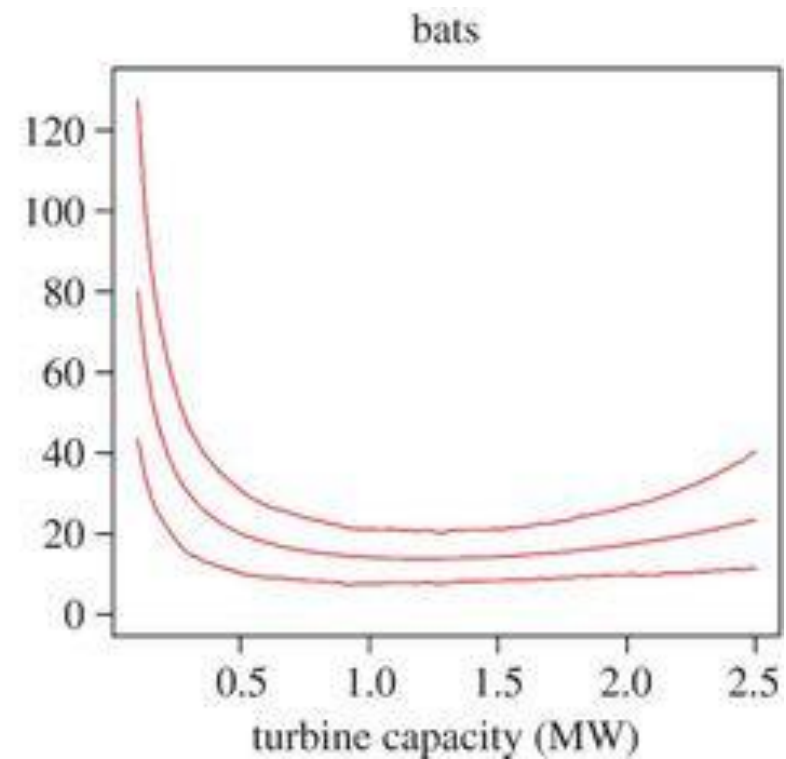
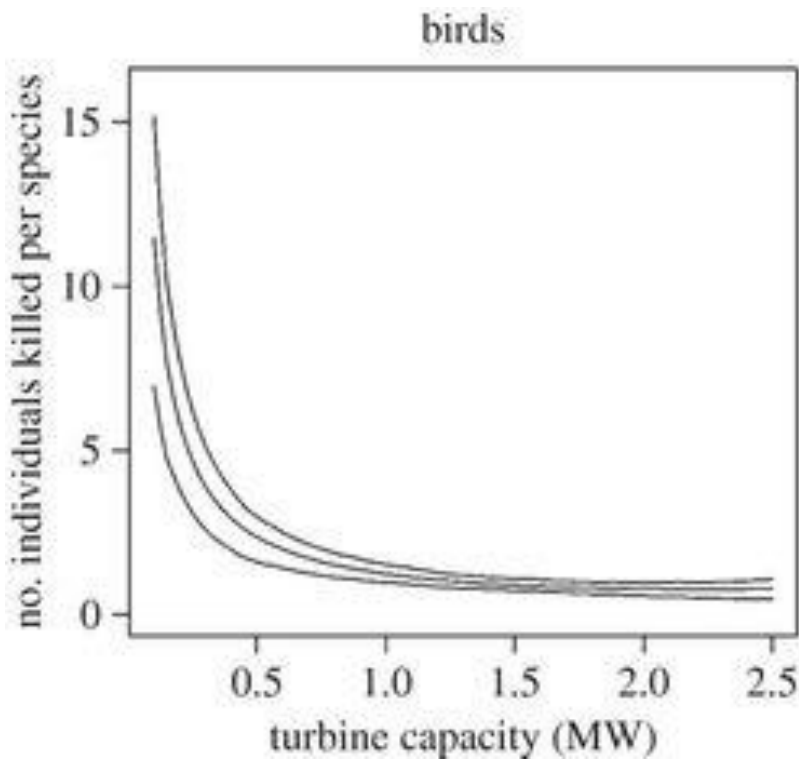


Sources: Loss et al. (2015); (2013). US Fish and Wildlife Service; Subramanian et al. (2012); American Bird Conservancy (2021).





Fewer larger turbines are less harmful than many small ones.



Paint it black: Efficacy of increased wind turbine rotor blade visibility to reduce avian fatalities



Roel May✉, Torgeir Nygård, Ulla Falkdalen, Jens Åström, Øyvind Hamre, Bård G. Stokke

First published: 26 July 2020 | <https://doi.org/10.1002/ece3.6592> | Citations: 46



Global Ecology and Conservation

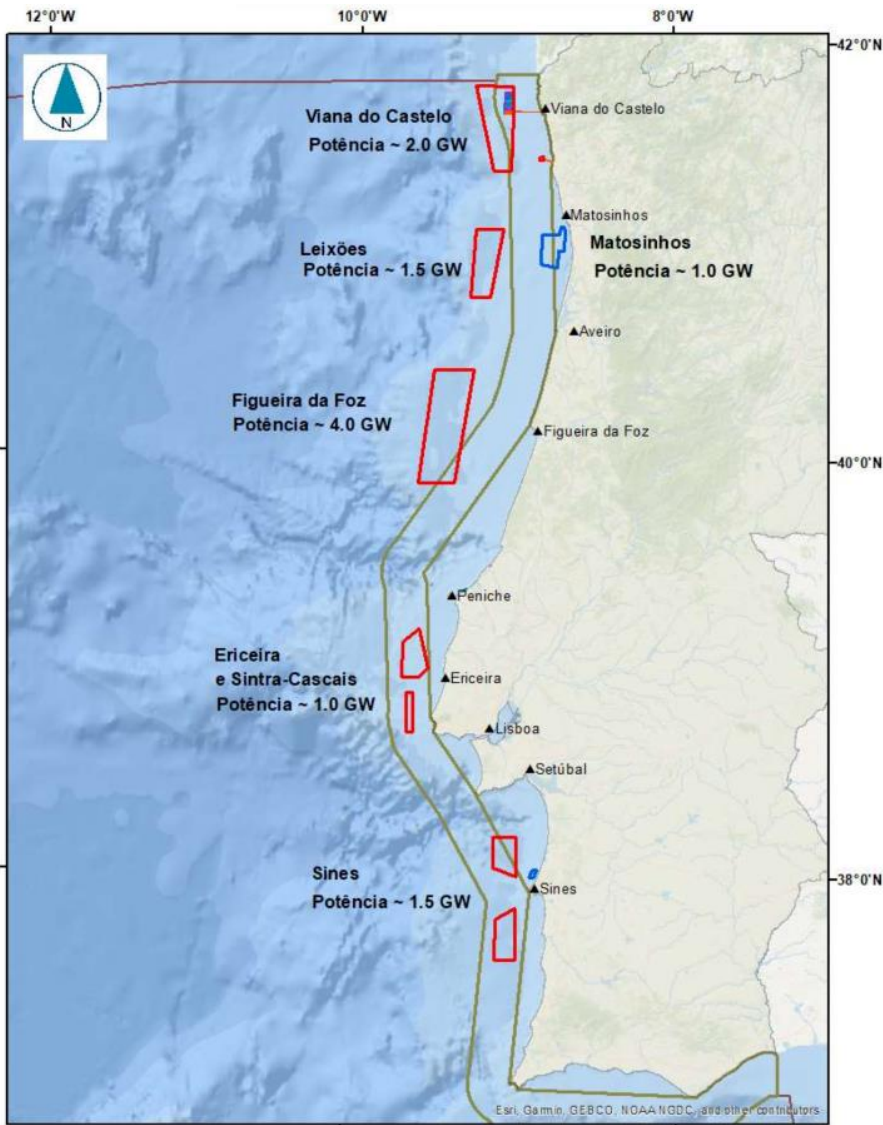
Volume 24, December 2020, e01099



Original Research Article

Ultrasonic acoustic deterrents significantly reduce bat fatalities at wind turbines

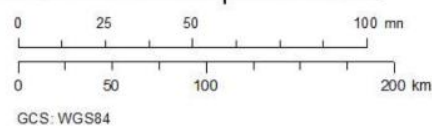
Sara P. Weaver^{a b} ✉, Cris D. Hein^c ✉, Thomas R. Simpson^b ✉, Jonah W. Evans^d ✉,
Ivan Castro-Arellano^b ✉



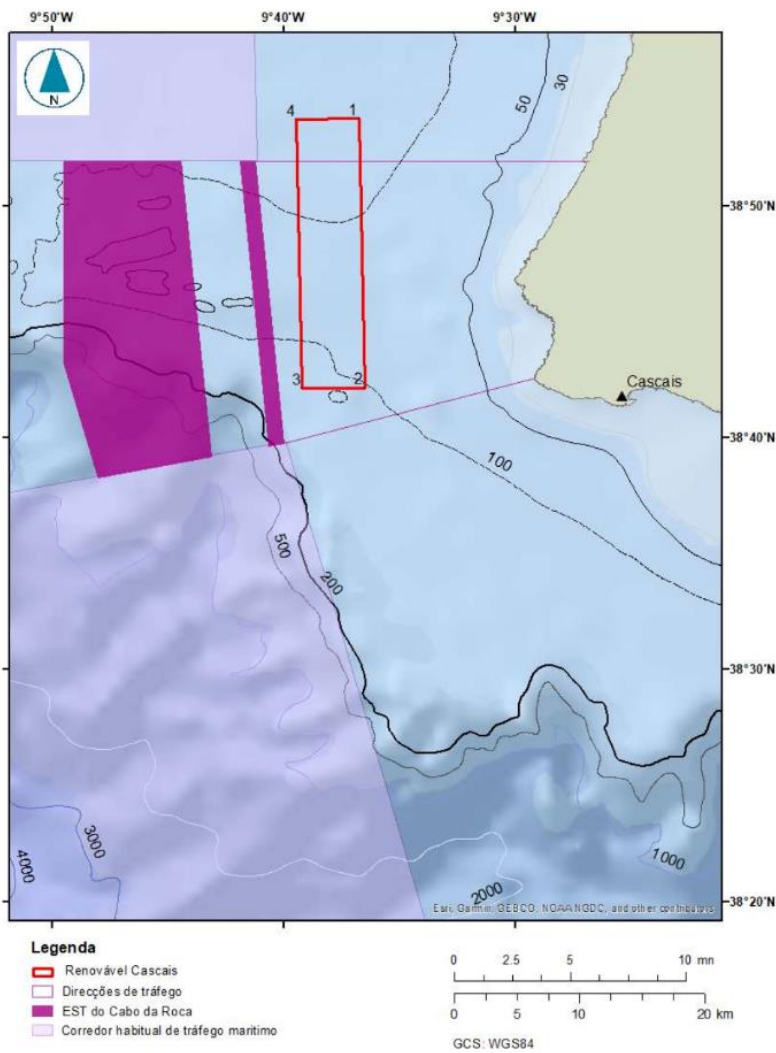
Áreas Propostas	Área (km ²)	Potência passível de ser instalada (GW)
Viana do Castelo	663,00	2,0
Leixões	463,36	1,5
Figueira da Foz	1237,29	4,0
Ericeira	256,84	
Sintra/Cascais	83,75	1,0
Sines	498,66	1,5
Total	3202,9	10,0

Legenda

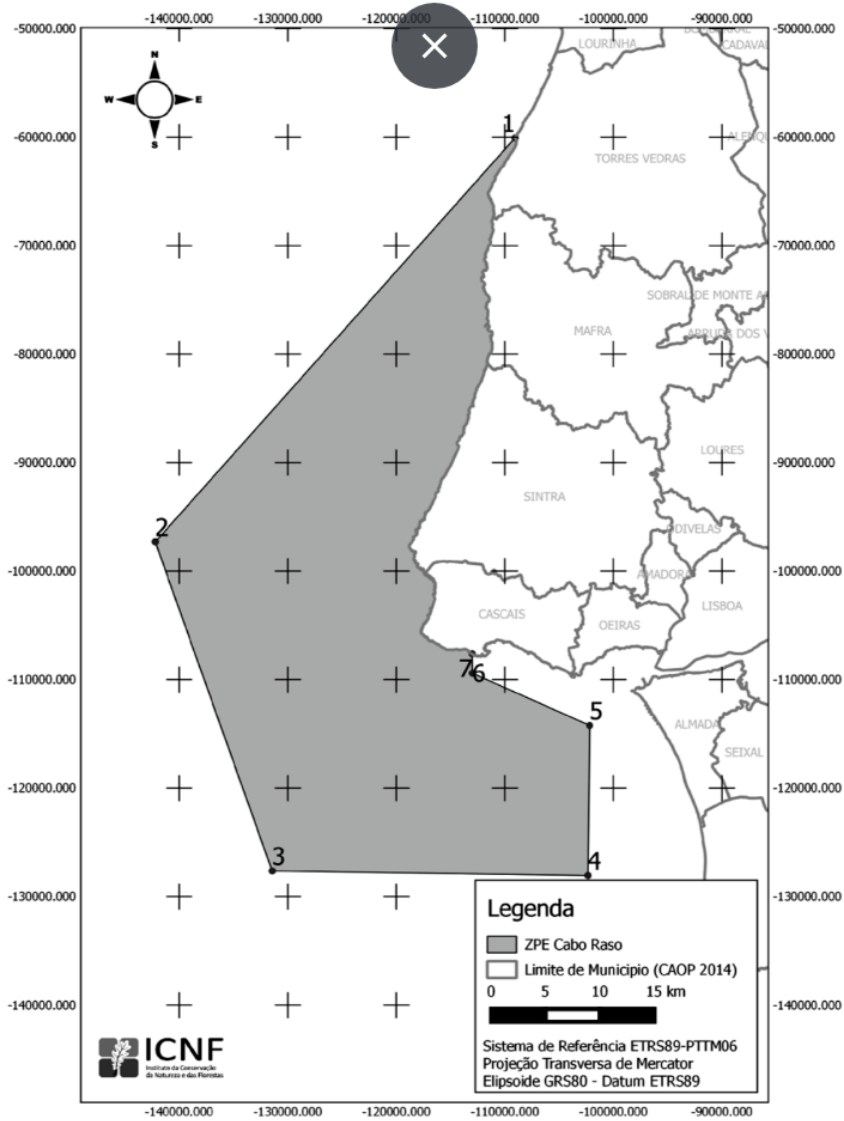
- Energias renováveis (Profundidade $\geq 75\text{m}$ e $\leq 200\text{m}$)
- Energias renováveis (Profundidade $\leq 50\text{m}$)
- Mar territorial
- ZEE subárea do Continente



Sintra/Cascais



Carta da zona de proteção especial (ZPE) do Cabo Raso



Guess which one produces more noise...



DAVE GRANLUND © www.davegranlund.com

ARGUMENTS AGAINST-

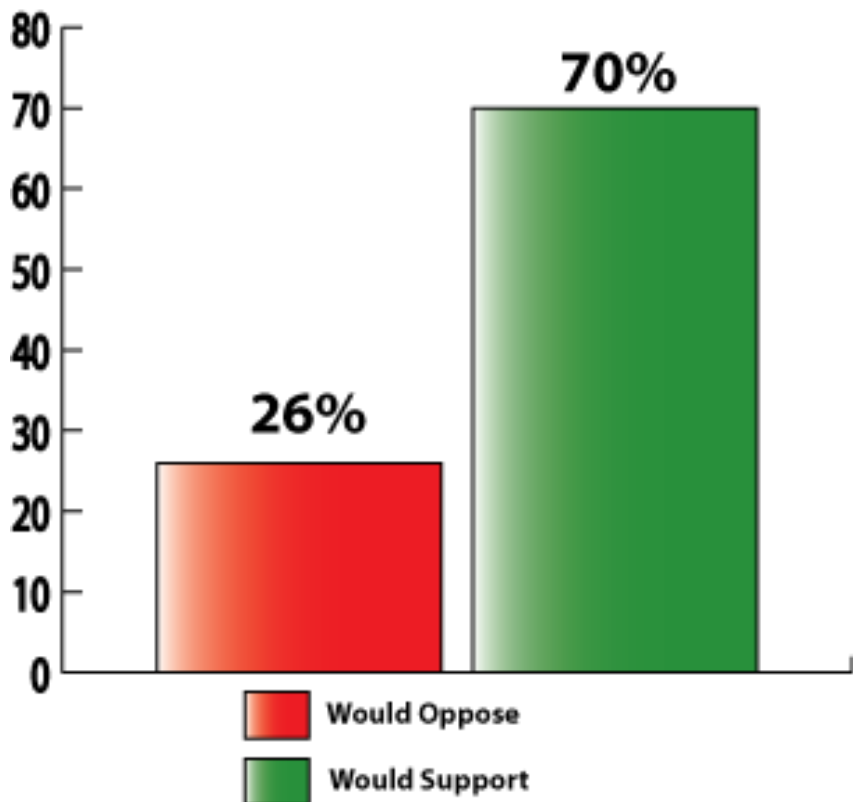


JOEL HELLER ©2011 GREENBAY PRESS GAZETTE

Say NO to
WIND FARM



Opposition and Support for: *Windfarms*



Most Likely Opponents:

- Aged 65+
- Two Year Degree
- Live in an Urban environment
- Live in Northeast, or South
- Identify as Conservative or member of Tea Party

Most Likely Supporters:

- Aged 21-35
- Hold Post-Grad Degree
 - Support at 81%
- Earn between \$35K-\$49K or between \$75K-\$99K
- Live in Rural environment
- Live in Midwest
- Identify as Liberal or Moderate

**eolo
diversidade**

Turbinas de eixo vertical

Omni-direccionais

Menor eficiência

Mais baixas, logo menos vento

Interessantes para zonas urbanas



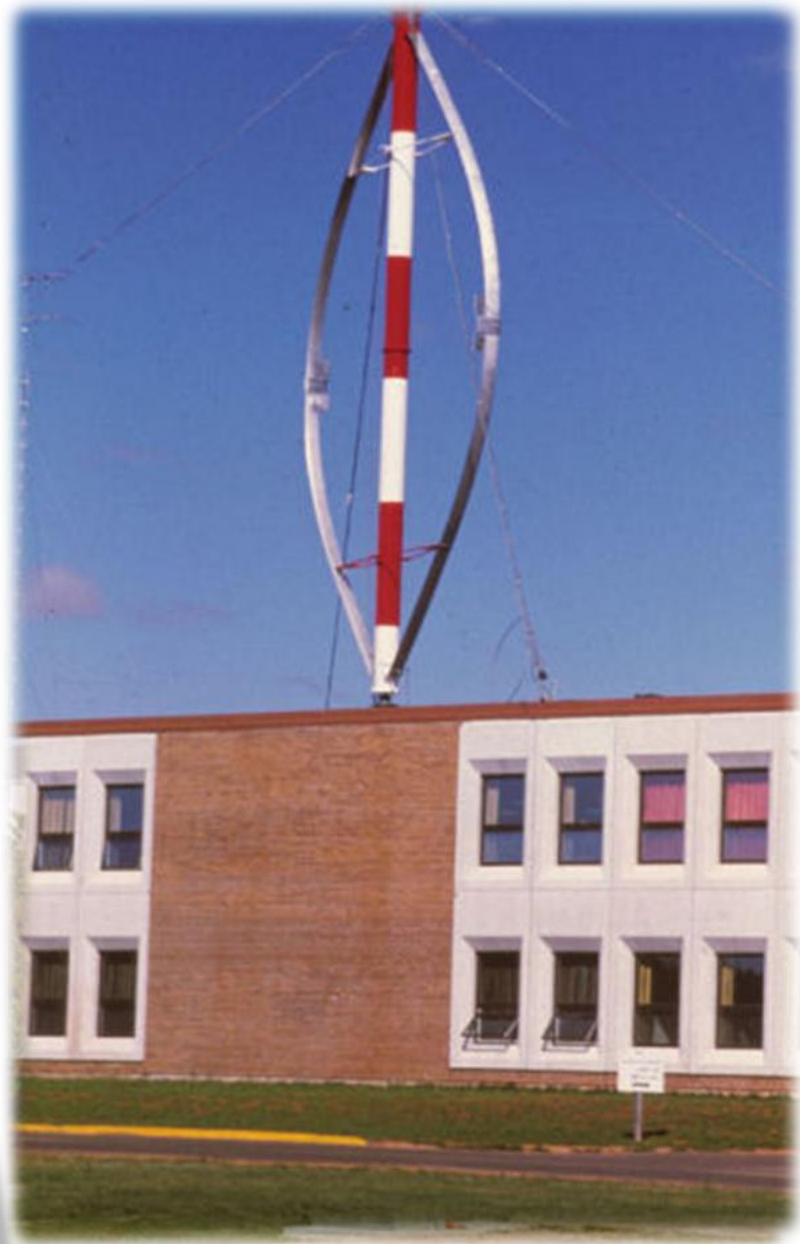
Turbinas de eixo vertical

Omni-direccionais

Menor eficiência

Mais baixas, logo menos vento

Interessantes para zonas urbanas







Turbinas integradas em edifícios









Grande altitude

